

## II. DESAIN STRUKTUR

### 2.1. Deskripsi Umum Struktur

Pada bab ini disajikan secara lengkap proses desain struktur Gedung Majelis Rakyat Papua Barat. Struktur gedung terdiri dari 2 lantai yang didesain menggunakan sistem rangka pemikul momen khusus (SRPMK) sesuai dengan SNI 1726:2019. Elemen struktur berupa pelat lantai, balok, kolom, balok sloof dan fondasi di desain menggunakan material beton bertulang.

### 2.2. Spesifikasi Material Struktur

1. Baja Profil
  - a. Baja Profil yang digunakan BJ 37 dengan tegangan leleh,  $f_y = 240 \text{ MPa}$  dan teganganultimit,  $f_u = 370 \text{ MPa}$
  - b. Modulus elastisitas baja,  $E_s = 200.000 \text{ MPa}$
2. Beton
  - a. Kuat tekan beton pada umur 28 hari,  $f_c' = 25 \text{ MPa}$  (strukur bawah)
  - b. Modulus elastisitas beton,  $E_c = 4700 \sqrt{f_c'} = 23025,20 \text{ MPa}$
3. Baja Tulangan
  - a. Baja tulangan dengan  $D > 12 \text{ mm}$ , digunakan baja tulangan ulir (deform) dengan tegangan leleh,  $f_y = 420 \text{ MPa}$
  - b. Baja tulangan dengan  $D \leq 12 \text{ mm}$ , digunakan baja tulangan polos dengan teganganleleh,  $f_y = 280 \text{ MPa}$
  - c. Modulus elastisitas baja,  $E_s = 200.000 \text{ MPa}$

### 2.3. Desain Atap Rangka Baja

#### 2.3.1. Dasar Perhitungan

Pada dasarnya perhitungan rangka baja yaitu, perhitungan dimensi gording, perhitungan dimensi batang Tarik, perhitungan dimensi ikatan angin, perhitungan dimensi kuda-kuda, perhitungan konstruksi perletakan serta penggambaran.

#### 2.3.2. Macam-Macam Pembebaan

Pembebaan yang digunakan pada konstruksi rangka baja (pembebaan pada kuda kuda), terdiri dari :

- a. Beban Mati
- b. Beban Hidup
- c. Beban Angin

### **2.3.3. Analisa Struktur**

Analisa struktur pada perencanaan ini menggunakan program ETABS dan menggunakan Spesifikasi untuk Bangunan Gedung Baja Struktural SNI (1727:2015)

### **2.4. Beban Rencana**

#### **2.4.1. Beban Gravitasi**

Beban gravitasi ditetapkan berdasarkan SNI 1727:2013 Beban Minimum untuk Perancangan Bangunan Gedung dan Struktur Lain. Beban gravitasi dalam desain struktur rumah tinggal meliputi berat sendiri struktur/*dead load* (DL), beban mati tambahan/*additional dead load* (ADL), dan beban hidup/*live load* (LL). Beban-beban tersebut dijelaskan sebagai berikut :

##### **2.4.1.1. Berat Sendiri Struktur (DL)**

Berat sendiri struktur/*dead load* adalah berat dari masing-masing elemen struktur berupa pelat lantai, balok, kolom, dll yang menjadi bagian dari struktur utama. Dalam pemodelan struktur dengan menggunakan *software*, berat sendiri struktur akan dihitung otomatis oleh *software* berdasarkan data berat jenis material dan dimensi elemen strukturnya yang diinputkan dalam *software* tersebut.

##### **2.4.1.2. Beban Mati Tambahan (ADL)**

Beban mati tambahan/*additional dead load* adalah beban tambahan akibat penggunaan komponen non-struktural (arsitektural dan MEP) yang melekat dan membebani struktur utama bangunan. Beban mati tambahan tersebut dijelaskan sebagai berikut:

a. Beban Mati Tambahan Pada Pelat Lantai

- Berat plafon, mekanikal, dll.  $0,10 \text{ kN/m}^2$

b. Total Beban Mati Tambahan

- Dinding  $= 9,6 \text{ kN/m}^2$

##### **2.4.1.3. Beban Hidup (LL)**

Beban hidup/*live load* adalah beban yang terjadi akibat penggunaan struktur bangunan. Beban hidup tersebut dapat berasal dari orang/barang yang dapat berpindah tempat. Gedung Panti Rehabilitasi termasuk dalam kategori ruang publik menurut 1727:2013 sehingga beban hidup ditetapkan sebagai berikut :

- Beban hidup  $= 1 \text{ kN/m}^2$

#### **2.4.2. Beban Gempa**

Beban gempa ditetapkan berdasarkan SNI 1726:2019 Tata Cara Perencanaan Ketahanan Gempa untuk Struktur Bangunan Gedung dan Nongedung. Langkah-langkah perhitungan beban gempa disajikan sebagai berikut :

##### **2.4.2.1. Menentukan Kategori Resiko Bangunan(I-IV)**

Kategori risiko bangunan ditentukan berdasarkan fungsi operasional/jenis pemanfaatan dari suatu bangunan. Dalam SNI 1726:2019, kategori risiko bangunan dibedakan menjadi 4 jenis yaitu kategori risiko I, II, III, dan IV Dalam pekerjaan ini, struktur gedung perkantoran termasuk dalam kategori bangunan umum sehingga ditetapkan sebagai kategori risiko bangunan III bisa dilihat dalam SNI 1726 : 2019 tentang Kategori risiko bangunan Gedung dan nongedung untuk beban gempa .

##### **2.4.2.2 Menentukan Faktor Keutamaan Gempa (Ie)**

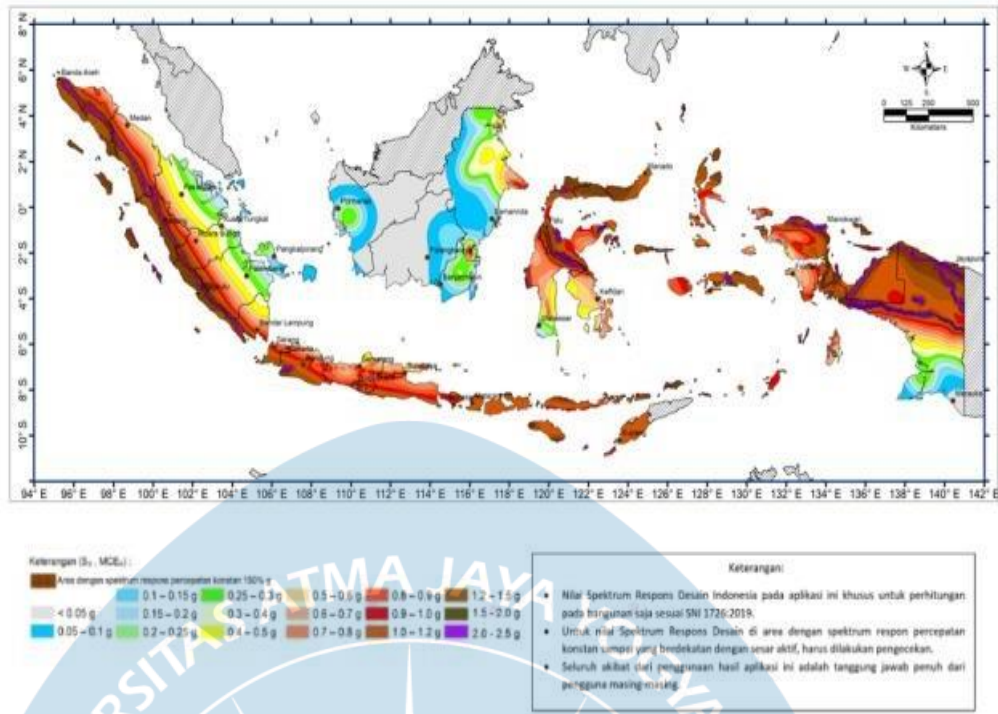
Faktor keutamaan gempa ditentukan berdasarkan kategori risiko bangunan. Dalam Tabel 2.1 disajikan faktor keutamaan gempa (Ie) sesuai dengan SNI 1726:2019. Dalam pekerjaan ini, struktur rumah tinggal termasuk dalam kategori risiko bangunan III sehingga faktor keutamaan gempa (Ie) ditetapkan sebesar 1,25.

Tabel 2. 1 Faktor keutamaan gempa (Ie)

Kategori Risiko	Faktor Keutamaan Gempa, (Ie)
I atau II	1,0
III	1,25
IV	1,50

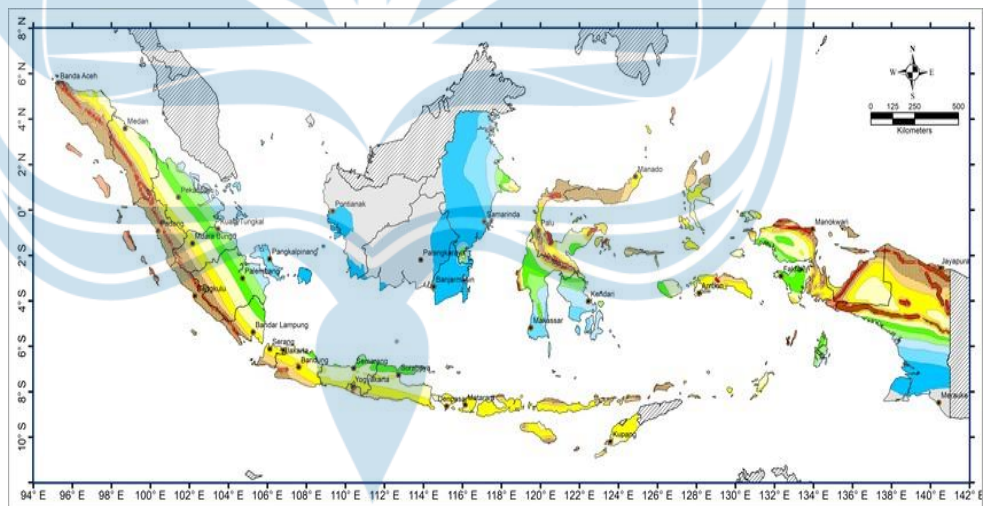
##### **2.4.2.3 Menentukan Parameter Percepatan Tanah (Ss dan S1)**

Parameter percepatan tanah (Ss dan S1) dipengaruhi oleh properti tanah pada lokasi proyek. Nilai Ss dan S1 digunakan untuk menentukan respons spektral percepatan gempa MCER di permukaan tanah, dimana Ss dan S1 berturut-turut merupakan parameter respons spektral percepatan gempa MCER terpetakan untuk periode pendek dan periode 1,0 detik. Pada gambar 2.1 dan 2.2 b disajikan nilai Ss dan S1 untuk gempa maksimum yang dipertimbangkan risiko-tertarget (MCER) pada batuan dasar. Dalam pekerjaan ini, lokasi bangunan berada di Kota Yogyakarta sehingga digunakan nilai Ss= 0.78 g dan S1= 0.38 g.



Gambar 2. 1 S<sub>s</sub>, gempa maksimum yang dipertimbangkan risiko tertarget(MCER) pada batuan dasar untuk periode pendek (0,2 detik)

(Sumber: SNI 1726:2019)



Gambar 2. 2 S<sub>1</sub> gempa maksimum yang dipertimbangkan risiko tertarget (MCER) pada batuan dasar untuk periode 1 detik

(Sumber: SNI 1726:2012)

#### 2.4.2.4 Menentukan Klasifikasi Situs (SA - SF)

Karakteristik lokasi proyek khususnya yang berhubungan dengan aspek geoteknik harus diidentifikasi dengan baik dalam proses perencanaan melalui kegiatan penyelidikan lokasi proyek (*site investigation*). Kegiatan penyelidikan lokasi proyek ini dapat berupa penyelidikan tanah di lapangan dan laboratorium. Selanjutnya hasil dari penyelidikan lokasi proyek tersebut akan digunakan sebagai dasar dalam penentuan klasifikasi situs. Dalam SNI 1726:2019 klasifikasi situs dibedakan menjadi 6 jenis yaitu SA (batuan keras), SB (batuan), SC (tanah keras), SD (tanah sedang), SE (tanah lunak), dan SF (tanah khusus) dari tabel kami menggunakan kelas situs SD (Tanah sedang) dengan nilai yang tertera pada tabel.(lihat Tabel 2.2).

Tabel 2. 2 Klasifikasi situs

Kelas situs	(m/detik )	$N$ atau $Nch$	$S_u$ (kPa)
SA (batuan keras)	>1500	N/A	N/A
SB (batuan)	750 sampa i1500	N/A	N/A
SC (tanah keras,sangat padat dan batuan lunak)	350 sampa i750	>50	$\geq 100$
SD (tanah sedang)	175 sampa i350	15 sampai 50	50 sampai 100
SE (tanah lunak)	<175	<15	<50
	Atau setiap profil tanah yang mengandung lebih dari 3 mtanah dengan karakteristik sebagai berikut:		
	<ol style="list-style-type: none"> <li>1. Indeks plastisitas, <math>PI &gt; 20</math>,</li> <li>2. Kadar air, <math>w \geq 40\%</math></li> <li>3. Kuat geser niralir, <math>S_u &lt; 25</math> kPa</li> </ol>		

<p>SF          (tanah khusus, yang          membutuhkan investigasi          geoteknik spesifik          dan analisis respons          spesifik- situs yang          mengikuti 0          berdasarkan Pasal          6.10.1)</p>	<p>Setiap profil lapisan tanah yang memiliki salahsatu atau lebih dari karakteristik berikut:</p> <ol style="list-style-type: none"> <li>1. Rawan dan berpotensi gagal atau runtuh akibat bebangempa seperti mudah likuifikasi, lempung sangat sensitif, tanah tersementasi lemah</li> <li>2. Lempung sangat organik dan/atau gambut (ketebalan <math>H &gt; 3 \text{ m}</math>)</li> <li>3. Lempung berplastisitas sangat tinggi (ketebalan <math>H &gt; 7,5 \text{ m}</math> dengan indeks plasitisitas, <math>PI &gt; 75</math>)</li> </ol> <p>Lapisan lempung lunak/setengah teguh dengan ketebalan <math>H &gt; 35 \text{ m}</math> dengan <math>S_u &lt; 50 \text{ kPa}</math></p>
--	--

Catatan: N/A = tidak dapat dipakai

Berdasarkan hasil uji N-SPT yang dilakukan di lapangan, site proyek pekerjaan ini termasuk dalam klasifikasi situs SD (tanah sedang). Data N-SPT selengkapnya dapat dilihat dalam laporan penyelidikan tanah.

#### 2.4.2.5 Menentukan Koefisien Situs ( $F_a$ dan $F_v$ )

Faktor amplifikasi pada periode 0,2 detik ( $F_a$ ) dan 1 detik ( $F_v$ ) bertujuan untuk mengetahui respons spektral percepatan gempa MCER terpetakan di permukaan tanah. Faktor amplifikasi tersebut ditentukan sesuai kelas situs dan parameter percepatan tanah. Faktor amplifikasi pada periode 0,2 detik ( $F_a$ ) ditentukan oleh kelas situs dan parameter respons spektral percepatan gempa MCER terpetakan untuk periode 0,2 detik ( $S_s$ ). Sedangkan faktor amplifikasi pada periode 1 detik ( $F_v$ ) ditentukan oleh kelas situs dan parameter respons spectral percepatan gempa MCER

terpetakan untuk periode 1 detik (S1). Penentuan koefisien situs ( $F_a$  dan  $F_v$ ) didasarkan pada Tabel 2.3 dan 2.4.

Tabel 2. 3 Koefisien Situs,  $F_a$

Kelas Situs	Parameter respons spektral percepatan gempa maksimum yang dipertimbangkan risiko-tertarget (MCER) terpetakan pada periode pendek, $T = 0,2$ detik, $S_s$					
	$S_s \leq 0,25$	$S_s = 0,5$	$S_s = 0,75$	$S_s = 1,0$	$S_s = 1,25$	$S_s \geq 1,5$
SA	0,8	0,8	0,8	0,8	0,8	0,8
SB	0,9	0,9	0,9	0,9	0,9	0,9
SC	1,3	1,3	1,2	1,2	1,2	1,2
SD	1,6	1,4	1,2	1,1	1,0	1,0
SE	2,4	1,7	1,3	1,1	0,9	0,8
SF	$S_s^a$					

Tabel 2. 4 Koefisien Situs,  $F_v$

Kelas Situs	Parameter respons spektral percepatan gempa maksimum yang dipertimbangkan risiko-tertarget (MCER) terpetakan pada periode 1 detik, $S_1$					
	$S_1 \leq 0,1$	$S_1 = 0,2$	$S_1 = 0,3$	$S_1 = 0,4$	$S_1 = 0,5$	$S_1 \geq 0,6$
SA	0,8	0,8	0,8	0,8	0,8	0,8
SB	0,8	0,8	0,8	0,8	0,8	0,8
SC	1,5	1,5	1,5	1,5	1,5	1,4
SD	2,4	2,3	2,0	1,9	1,8	1,7
SE	4,2	3,3	2,8	2,4	2,2	2,0
SF	$S_1^a$					

Catatan:

- (a) Untuk nilai-nilai antara  $S_1$ , dapat dilakukan interpolasi linier
- (b)  $S_s$  = situs yang memerlukan investigasi geoteknik spesifik dan analisis respons situs- spesifik, lihat Pasal 6.10.1

Berdasarkan Tabel 2.3 dan Tabel 2.4, untuk kelas situs SD (tanah sedang) didapatkan nilai  $F_a$  dan  $F_v$  berturut-turut 1 dan 1,9. Selanjutnya nilai  $F_a$  dan  $F_v$  tersebut digunakan untuk menentukan parameter spektrum respons percepatan pada periode pendek ( $S_{MS}$ ) dan periode 1 detik ( $S_{M1}$ ) yang dapat dihitung menggunakan persamaan berikut:

$$S_{MS} = F_a \times S_s = 0,93 \text{ g} \quad (2.1)$$

$$S_{M1} = F_v \times S_1 = 0,74 \text{ g} \quad (2.2)$$

#### 2.4.2.6 Menghitung Parameter Percepatan Desain (SDS dan SD1)

Pada langkah sebelumnya sudah didapatkan nilai SMS dan SM1. Selanjutnya berdasarkan nilai SMS dan SM1 tersebut, parameter percepatan spektral desain untuk periode pendek 0,2 detik (SDS) dan periode 1 detik (SD1) perlu ditetapkan untuk menyusun kurva respons spektra. Nilai SDS dan SD1 dihitung menggunakan persamaan berikut:

$$SDS = 2/3 \times SMS = 0,62 \text{ g}$$

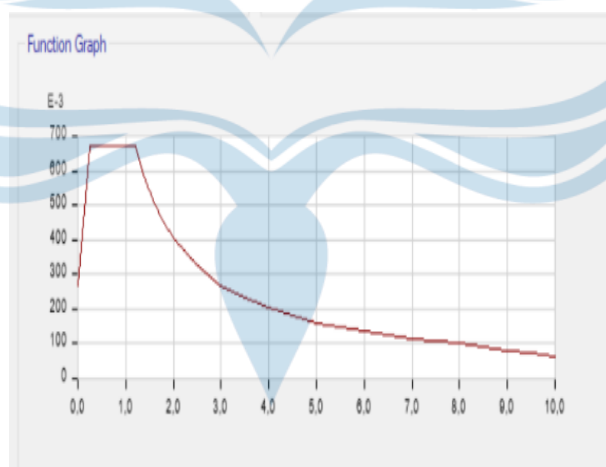
(2.3)

$$SD1 = 2/3 \times SM1 = 0,49 \text{ g}$$

(2.4)

#### 2.4.2.7 Menyusun Kurva Respons Spektra Desain

Berdasarkan parameter respons spektra yang dihitung pada tahap sebelumnya, kurva respons spektra desain dapat disusun sebagai berikut (lihat Tabel 2.5 dan Gambar 2.3):



Gambar 2. 3 Kurva respon spectra  
(Sumber : Etabs 2018)

Tabel 2. 5 Parameter Respon Spektrum

T	Sa
0,000	0,2490
0,050	0,3664
0,100	0,4837
0,150	0,6011
0,159	0,6225
0,200	0,6225
0,250	0,6225
0,300	0,6225
0,350	0,6225
0,400	0,6225
0,450	0,6225
0,500	0,6225
0,550	0,6225
0,600	0,6225
0,650	0,6225
0,700	0,6225
0,750	0,6225
0,796	0,6225

#### 2.4.2.8 Menentukan Kategori Desain Seismik (KDS: A - F)

Struktur yang didesain harus ditetapkan termasuk dalam kategori desain seismik (KDS) sesuai dengan Pasal 6.5 SNI 1726:2019. Dalam menentukan KDS disajikan kategori desain seismik yang didasarkan pada hubungan  $S_{Ds}$  dan  $S_{D1}$  dengan KDS pada tabel SNI 1726 :2019 mengenai kategori desain seismic berdasarkan parameter respons percepatan pada kategori pendek dan pada kategori 1 detik sehingga dari tabel bisa ditentukan kategori yang dipakai adalah kategori D, dengan  $0,50 \leq S_{Ds}$  dan pada periode 1 detik  $0,20 \leq S_{D1}$

#### 2.4.2.9 Menentukan Sistem dan Parameter Struktur (R, Cd, $\Omega_o$ )

Sistem pemikul gaya seismik yang berbeda diizinkan untuk digunakan menahan gaya seismik di masing-masing arah kedua sumbu ortogonal struktur. Bila sistem yang berbeda digunakan, masing-masing nilai R, Cd, dan  $\Omega_o$  harus diterapkan pada setiap sistem, termasuk batasan sistem struktur yang termuat dalam tabel 12 di SNI

1726 : 2019 tentang factor R,  $C_D$ ,  $\Omega_0$  untuk sistem penahan gaya gempa , maka sistem struktur penahan gaya gempa yang digunakan pada struktur rumah tinggal adalah SRPMK sehingga diperoleh parameter struktur sebagai berikut:  $R = 8$ ,  $\Omega_0 = 3$ , dan  $C_D = 5,5$ .

#### 2.4.2.10 Menentukan Fleksibilitas Diafragma

Untuk struktur yang mempunyai ketidakberaturan struktur horizontal, diafragma harus dimodelkan sebagai semi-rigid. Dalam pekerjaan ini, struktur rumah tinggal tidak memiliki ketidakberaturan struktur horizontal sehingga diafragma dimodelkan sebagai diafragma rigid.

#### 2.4.2.11 Menentukan Faktor Redundansi ( $\rho$ )

Faktor redundansi ( $\rho$ ) harus dikenakan pada sistem struktur penahan gaya gempa pada masing-masing kedua arah ortogonal untuk semua struktur sesuai dengan Pasal 7.3.4 SNI 1726:2019.

Nilai  $\rho$  dapat diambil sama dengan 1,0 jika masing-masing tingkat yang menahan lebih dari 35% gaya geser dasar pada arah yang ditinjau harus memenuhi persyaratan Tabel 2.6.

Tabel 2. 6 Elemen Penahan

Elemen Penahan	Persyaratan n
Gaya Lateral	
Rangka dengan bresing	Penghilangan suatu bresing individu, atau sambungan yang terhubung, tidak akan mengakibatkan reduksi kekuatan tingkat lebih dari 33 %, dan tidak akan menghasilkan sistem dengan ketidakberaturan torsi yang berlebihan (ketidakberaturan struktur horizontal Tipe 1b).
Rangka pemikul momen	Kehilangan tahanan momen di sambungan balok-kolom di keduaujung suatu balok tunggal tidak akan mengakibatkan reduksi kekuatan tingkat lebih dari 33%, dan tidak akan menghasilkan sistem dengan ketidakberaturan torsi yang berlebihan (ketidakberaturan struktur horizontal Tipe 1b).

Dinding geser atau pilar dinding dengan rasio tinggi terhadap panjang lebih besar dari 1,0	Penghilangan suatu dinding geser atau pilar dinding dengan rasio tinggi terhadap panjang lebih besar dari 1,0 di sebarang tingkat, atau sambungan kolektor yang terhubung, tidak akan mengakibatkan reduksi kekuatan tingkat lebih dari 33 %, dan tidak akan menghasilkan sistem dengan ketidakberaturan torsi yang berlebihan (ketidakberaturan struktur horizontal Tipe 1b).
Kolom kantilever	Kehilangan tahanan momen di sambungan dasar pada sebarang kolom kantilever tunggal tidak akan mengakibatkan reduksi kekuatan tingkat lebih dari 33 %, dan tidak akan menghasilkan sistem dengan ketidakberaturan torsi yang berlebihan (ketidakberaturan struktur horizontal Tipe 1b).
Lainnya	Tidak ada persyaratan

Ketentuan lain yang mengizinkan  $\rho$  dapat diambil sama dengan 1,0 adalah jika struktur dengan denah teratur di semua tingkat asalkan sistem penahan gaya gempa terdiri dari paling sedikit dua bentang perimeter penahan gaya gempa yang merangka pada masing-masing sisi struktur dalam masing-masing arah ortogonal di setiap tingkat yang menahan lebih dari 35% gaya geser dasar. Jumlah bentang untuk dinding geser harus dihitung sebagai panjang dinding geser dibagi dengan tinggi tingkat atau dua kali panjang dinding geser dibagi dengan tinggi tingkat untuk konstruksi rangka ringan. Jika kondisi tersebut tidak dipenuhi maka,  $\rho$  harus diambil sama dengan 1,3, pekerjaan ini pakai 1,3.

#### 2.4.2.12 Memilih Prosedur Analisis Gaya Lateral/Gempa (ELF, RS, TH)

Beban gempa yang diatur dalam SNI 1726:2019 dapat dikerjakan melalui 3 jenis prosedur analisis yaitu analisis gaya lateral ekivalen (equivalent lateral forces), analisis spektrum respons raga (respons spectra), dan prosedur riwayat respons seismik (time history). Prosedur analisis beban gempa yang diizinkan untuk digunakan dipengaruhi oleh kategori desain seismik dan karakteristik struktur seperti yang disajikan dalam Tabel 2.7. Berdasarkan Tabel 2.7, dalam pekerjaan ini diizinkan untuk menggunakan analisis spektrum respons ragam sebagai prosedur analisis beban gempa.

Tabel 2. 7 Kategori Desain Seismik

Kategori Desain Seismik	Karakteristik Struktur	Analisis Gaya Lateral Ekivalen (pasal 7.8)	Analisis Spektrum Respons Ragam (Pasal 7.9)	Prosedur Riwayat Respons Seismik (Pasal 11)
B,C	Semua struktur lainnya	I	I	I
D, E, F	Bangunan lainnya dengan kategori risiko I atau II dengan ketinggian tidak melebihi 2 tingkat	I	I	I
	Struktur tanpa ketidakberaturan struktural dan ketinggiannya tidak melebihi 48,8 m	I	I	I
	Struktur tanpa ketidakberaturan struktur dan dengan ketinggian melebihi 48,8 m dan $T < 3,5 \text{ TS}$	I	I	I
	Struktur dengan ketinggian tidak melebihi 48,8 m dan hanya memiliki ketidakberaturan horizontal tipe 2,3,4 atau 5 atau ketidaberaturan vertikal tipe 4, 5a atau 5b	I	I	I
	Semua struktur lainnya	TI	I	I

*CATATAN*

*I: Diizinkan, TI: Tidak Diizinkan*

#### 2.4.2.13 Menghitung Beban Gempa dengan Prosedur Gaya Lateral Ekivalen (ELF)

Prosedur analisis gaya lateral ekivalen (ELF) didasarkan pada respons ragam pertama (first modes). Prosedur analisis ini berlaku hanya untuk struktur reguler dengan  $T < 3,5 \text{ Ts}$  (dimana  $\text{Ts} = \text{SD}_1/\text{SD}_S$ ). Jika hal tersebut tidak dipenuhi maka harus digunakan prosedur analisis dinamik yaitu analisis spektrum respons ragam atau prosedur riwayat waktu. Secara umum besar gayagempa yang dihasilkan oleh prosedur analisis ELF adalah fungsi dari berat seismik efektif ( $W_t$ ) dan koefisien respons seismik ( $C_s$ ). Selanjutnya gaya gempa tersebut didistribusikan ke setiap tingkat dari struktur gedung yang akan didesain. Gaya gempa hasil dari prosedur analisis ELF perlu dihitung karena jika digunakan prosedur analisis dinamik, gaya gempa yang dihasilkan perlu dibandingkan dengan gaya gempa hasil dari prosedur analisis ELF. Langkah perhitungan gaya gempa dengan prosedur analisis ELF disajikan sebagai berikut:

1. Menentukan Periode Fundamental Alami Struktur ( $T$ )

Periode fundamental alami struktur akan menentukan nilai koefisien respons seismik ( $C_s$ ) yang juga akan menentukan nilai gaya geser dasar seismik (VELF). Jika periode struktur yang lebih akurat ( $T_c$ ) tidak dimiliki maka periode struktur yang digunakan dapat diambil sebesar  $T_a$ .

Periode fundamental pendekatan ( $T_a$ ) ditentukan dengan berdasarkan persamaan:  $T_a = C_t \cdot h_n \cdot x$ . Dimana  $h_n$  adalah ketinggian struktur (dalam m), sedangkan koefisien  $C_t$  dan  $x$  ditentukan berdasarkan Tabel 2.8

Tabel 2. 8 Nilai parameter periode pendekatan  $C_t$  dan  $x$ .

Tipe Struktur	$C_t$	$x$
Sistem rangka pemikul momen di mana rangka memikul 100 % gaya seismik yang disyaratkan dan tidak dilingkupi atau dihubungkan dengan komponen yang lebih kaku dan akan mencegah rangka dari defleksi jika dikenai gaya seismik: <ul style="list-style-type: none"><li>• Rangka baja pemikul momen</li></ul>	0,072	0,8

• Rangka beton pemikul momen	0,046 6	4 0,9
Rangka baja dengan bresing eksentris	0,073 1	0,75
Rangka baja dengan bresing terkekang terhadap tekuk	0,073 1	0,75
Semua sistem struktur lainnya	0,048 8	0,75

Nilai koefisien untuk batas atas periode struktur yang dihitung ( $C_u$ ) ditetapkan berdasarkan Tabel 2.9.

Tabel 2.9 Koefisien untuk batas atas pada periode yang dihitung

Parameter percepatan respons spektral desain pada 1 detik, SD1	Koefisien $C_u$
$\geq 0,4$	1,4
0,3	1,4
0,2	1,5
0,15	1,6
$\leq 0,1$	1,7

Pada pekerjaan ini, tipe struktur yang digunakan adalah rangka beton pemikul momen sehingga didapatkan nilai  $C_t = 0,0466$  dan  $x = 0,9$ . Selanjutnya berdasarkan nilai  $SD1 = 0,49$  g didapatkan koefisien  $C_u = 1,4$ . Sehingga didapatkan nilai  $T_a = 0,512$  detik dan  $C_u \cdot T_a = 0,716$  detik. Sehingga, periode struktur yang digunakan dalam analisis beban gempa dengan prosedur ELF adalah 0,716 detik.

## 2. Menentukan Koefisien Respons Seismik ( $C_s$ )

Koefisien respons seismic ( $C_s$ ) ditentukan berdasarkan persamaan berikut:  $C_s = S_{DS} / (R/I_e)$

(2.5)

Nilai  $C_s$  yang dihitung sesuai dengan persamaan di atas tidak perlu melebihililai  $C_s$  yang dihitung dengan persamaan berikut :

Untuk  $T \leq TL$

$$C_s = S_{D1} / (T \times (R/I_e)) \quad (2.6)$$

Untuk  $T > TL$

$$C_s = (S_{D1} \times TL) / (T^2 \times (R/I_e)) \quad (2.7)$$

Namun nilai  $C_s$  harus tidak kurang dari :

$$C_s = 0,44 \times SDS \times I_e \geq 0,01 \quad (2.8)$$

Sebagai tambahan, untuk struktur yang berlokasi di daerah di mana  $S_1$  samadengan atau lebih besar dari  $0,6g$ , maka  $C_s$  harus tidak kurang dari :

$$C_s = (0,5 \times S_1) / (R/I_e) \quad (2.9)$$

Pada pekerjaan ini, hasil perhitungan koefisien respons seismic ( $C_s$ ) adalah sebagai berikut :

$$C_s = SDS / (R / I_e) = 0,125$$

$$C_s = S_{D1} (T \times (R / I_e)) = 0,120$$

$$C_s = 0,044 SDS \cdot I_e \leq 0,044$$

### 3. Menentukan Berat Seismik Efektif (W)

Berat seismik efektif struktur (W) harus menyertakan seluruh beban mati dan beban lainnya yang termasuk dalam daftar berikut ini:

- Dalam daerah yang digunakan untuk penyimpanan: minimum sebesar 25% beban hidup lantai (beban hidup lantai di garasi publik dan struktur parkiran terbuka, serta beban penyimpanan yang tidak melebihi 5% dari berat seismik efektif pada suatu lantai, tidak perlu disertakan)
- Jika ketentuan desain beban lantai untuk partisi disyaratkan SNI 1727 pasal 4.3.2, sebesar beban terbesar antara berat partisi aktual atau berat daerah lantai minimum sebesar  $0,48 \text{ kN/m}^2$
- Berat operasional total dari peralatan yang permanen
- Berat lansekap dan beban lainnya pada taman atap dan luasan sejenis lainnya

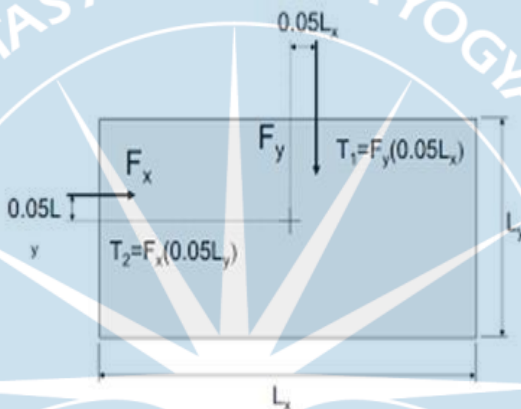
Dalam pekerjaan ini, berdasarkan hasil perhitungan didapatkan berat seismik efektif ( $W$ ) = 141436 kN.

#### 4. Menghitung Gaya Geser Dasar Seismik (VELF)

Gaya geser dasar seismik (VELF) dapat dihitung dengan operasi perkalian antara koefisien respon seismik ( $C_s$ ) dengan berat seismik efektif struktur ( $W$ ).  $V = 17.679,50 \text{ Kn}$

##### 2.4.2.14 Menghitung dan Menambahkan Beban Torsi

Struktur Gedung untuk semua kategori desain seismik (KDS) harus mempertimbangkan torsi rencana dan torsi tak terduga. Torsi tak terduga dikerjakan pada model struktur dengan memberikan eksentrisitas sebesar 5% masing-masing pada arah sumbu X dan Y (lihat Gambar 2.4).



Gambar 2. 4 Torsi Tak Terduga

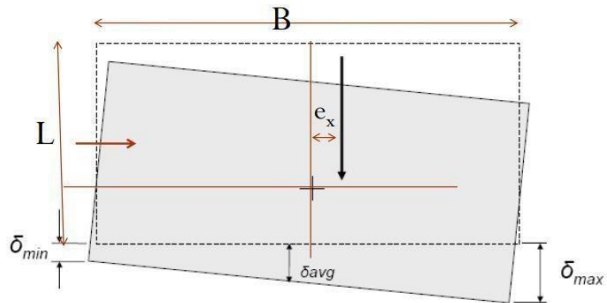
Apabila struktur gedung termasuk dalam kategori desain seismik C, D, E, dan F serta memiliki ketidakberaturan torsi 1a dan 1b maka harus mempertimbangkan adanya pembesaran torsi tak terduga (lihat Gambar 2.5).

Pembesaran torsi tak terduga dihitung menggunakan persamaan berikut:

$$ex = eox + (0,05 B Ax)$$

$$ey = eoy + (0,05 L Ay)$$

dimana,  $e_{ox}$  dan  $e_{oy}$  adalah eksentrisitas bawaan, sedangkan  $0,05 B Ax$  dan  $0,05 L Ay$  adalah eksentrisitas tak terduga



Gambar 2. 5 Pembesaran Torsi Tak Terduga

Pada pekerjaan ini, struktur gedung termasuk dalam kategori desain seismik (KDS) D namun tidak terjadi ketidakberaturan torsi 1a dan 1b sehingga tidak perlu mempertimbangkan pembesaran torsi tak terduga (cukup mempertimbangkan torsi tak terduga dengan memberikan eksentrisitas sebesar 5% masing-masing pada arah sumbu X dan Y).

## 2.5. Kombinasi Beban Rencana

Kombinasi beban ultimit ditetapkan berdasarkan Pasal 5.3.1 SNI 2847:2019 Persyaratan Beton Struktural untuk Bangunan Gedung dan Penjelasan, yaitu sebagai berikut :

1. 1,4DL
2. 1,2DL + 1,6LL + 0,5 (Lr atau R)
3. 1,2DL + 1,6 (Lr atau R) + (1,0L atau 0,5W)
4. 1,2DL + 1,0W + 1,0LL + 0,5 (Lr atau R)
5. 1,2DL + 1,0E + 1,0LL
6. 0,9DL + 1,0W
7. 0,9DL + 1,0E

Untuk kombinasi beban nomor 5 dan 7 yang merupakan kombinasi beban gempa, diatur secara khusus dalam pasal 7.4 SNI 1726:2019 Tata Cara Perencanaan Ketahanan Gempa untuk Struktur Bangunan Gedung dan NonGedung

Untuk kombinasi beban layan ditetapkan berdasarkan berdasarkan Pasal 4.2.3 SNI 2847:2019 Persyaratan Beton Struktural untuk Bangunan Gedung dan Penjelasan, yaitu sebagai berikut:

1. DL
2. DL + LL
3. DL + (Lr atau R)
4. DL + 0,75LL + 0,75(Lr atau R)
5. DL + (0,6W)
6. DL + 0,75(0,6W) + 0,75LL + 0,75(Lr atau R)
7. 0,6DL + 0,6W

dimana,

DL = Beban mati (berat sendiri struktur dan beban mati tambahan)LL = Beban hidup

Lr = Beban hidup pada struktur atap      R= Beban hujan      W = Beban angin

Ex = Beban gempa arah x Ey = Beban gempa arah y

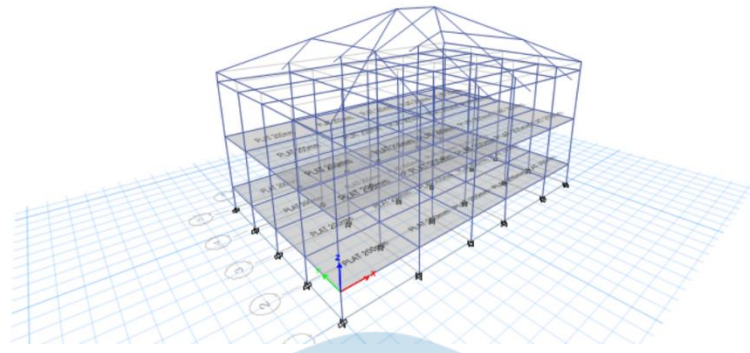
$\rho$  = Faktor redundansi

S<sub>DS</sub> = Parameter percepatan spektral desain untuk periode pendek 0,2 detik

## 2.6. Pemodelan Struktur

Pemodelan struktur dilakukan untuk mengetahui gaya-gaya dalam yang terjadi pada elemen struktur serta perilaku struktur akibat beban yang bekerja. Hasil dari pemodelan struktur digunakan sebagai dasar untuk mendesain dimensi penampang elemen struktur yang diperlukan. Model struktur dikerjakan dengan beberapa idealisasi. Sebagai contoh, pelat lantai diidealisasikan sebagai elemen shell, sedangkan balok dan kolom diidealisasikan sebagai elemen frame. Pemodelan struktur yang dilakukan mampu mengakomodasi pengaruh kerusakan baja ketika terjadi gempa yaitu melalui reduksi momen inersia penampang elemen struktur.

Struktur gedung ini didesain dengan menggunakan sistem struktur berupa struktur rangka pemikul momen khusus (SRPMK). Struktur tersebut dimodelkan dalam model 3 dimensi (3D Models) menggunakan bantuan software (lihat Gambar 2.6).

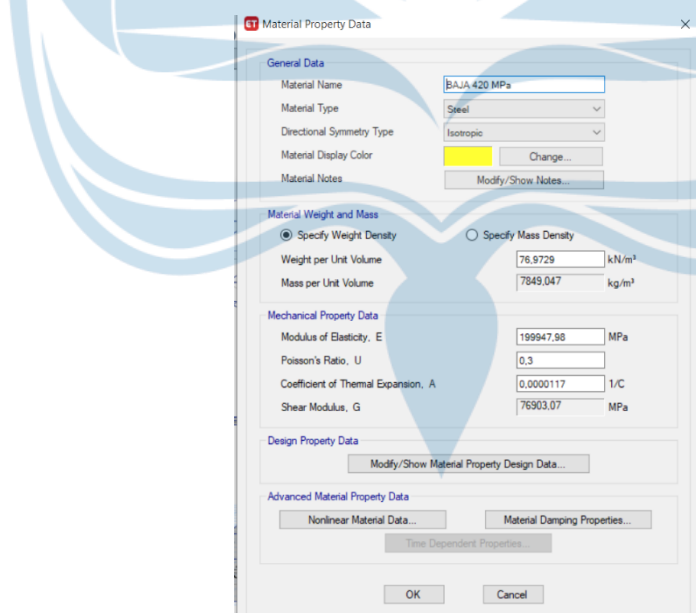


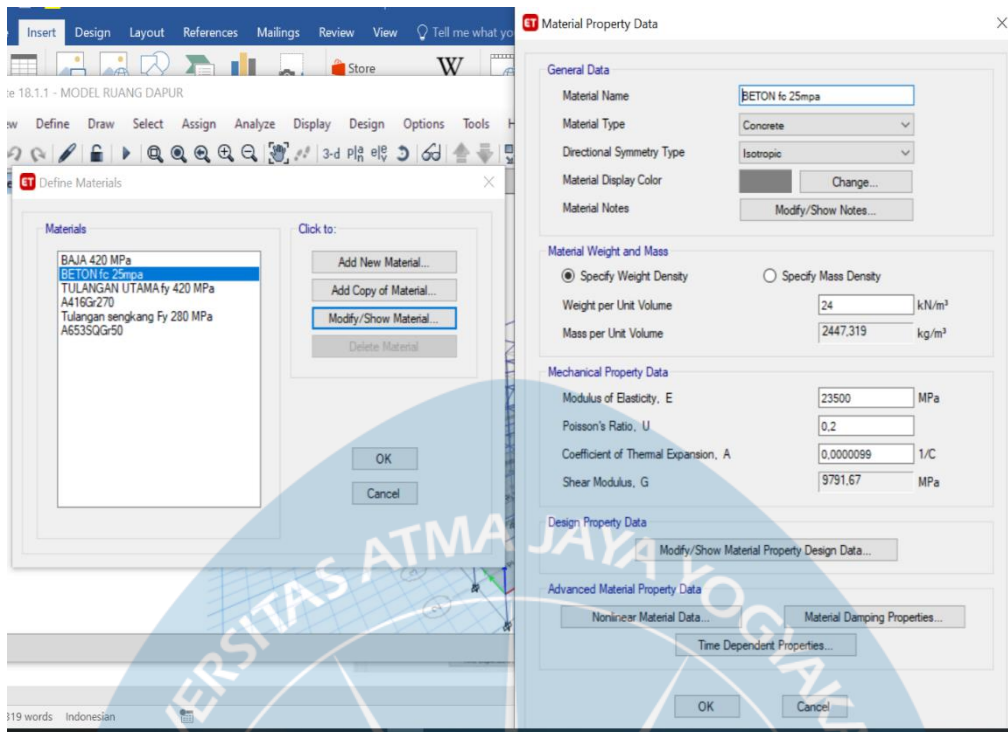
Gambar 2. 6 Model struktur Gedung

#### a. Definisi Material

Material yang digunakan dalam Analisa struktur adalah sebagai berikut:

Baja	: fy 240 MPa, fu 370 MPa
Beton	: fc' 24. MPa
Baja Tulangan Ulir	: fy 280
MPa	
Baja Tulangan Polos	: fy 280
MPa	

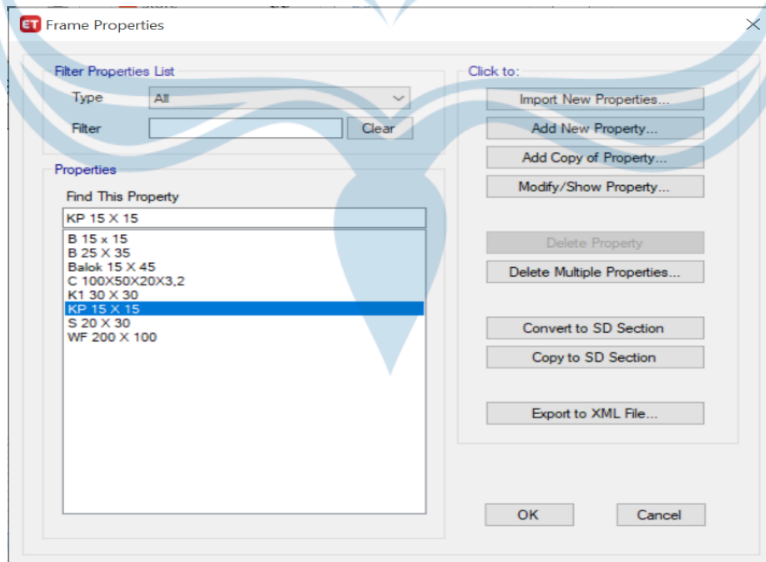




Gambar 2. 7. Material Properties

b. Definisi Profil Balok dan Kolom

Penampang balok dan kolom di definisikan sebagai berikut :



Gambar 2. 8 Section Properties

## Beberapa Section Properties

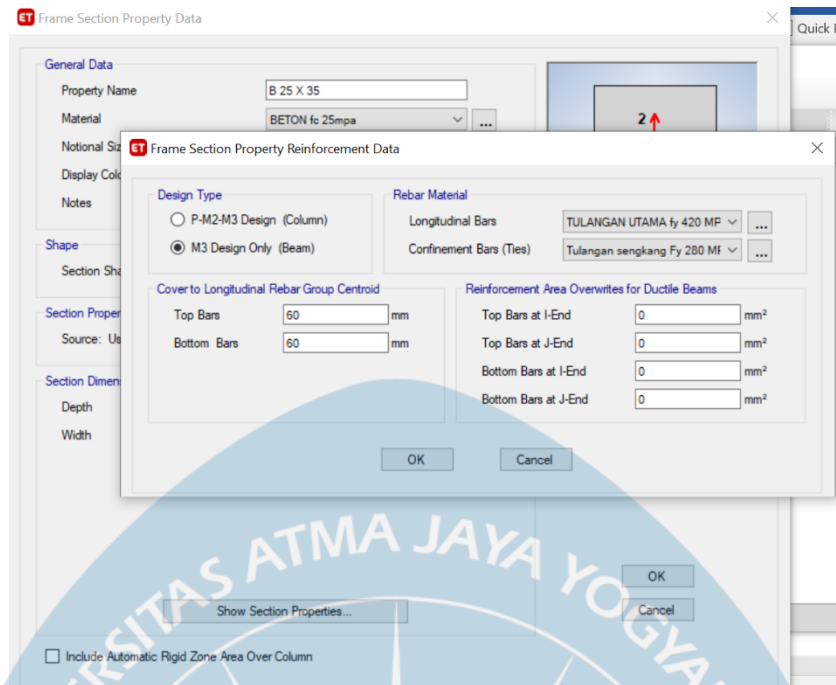
**Frame Section Property Data**

General Data	
Property Name	K1 30 X 30
Material	BETON fc 25mpa
Notional Size Data	<a href="#">Modify/Show Notional Size...</a>
Display Color	<span style="background-color: yellow;"> </span> Change...
Notes	<a href="#">Modify/Show Notes...</a>
Shape	
Section Shape	Concrete Rectangular
Section Property Source	
Source: User Defined	
Section Dimensions	
Depth	300 mm
Width	300 mm
<a href="#">Show Section Properties...</a>	
<input type="checkbox"/> Include Automatic Rigid Zone Area Over Column	
<a href="#">OK</a> <a href="#">Cancel</a>	

**Frame Section Property Reinforcement Data**

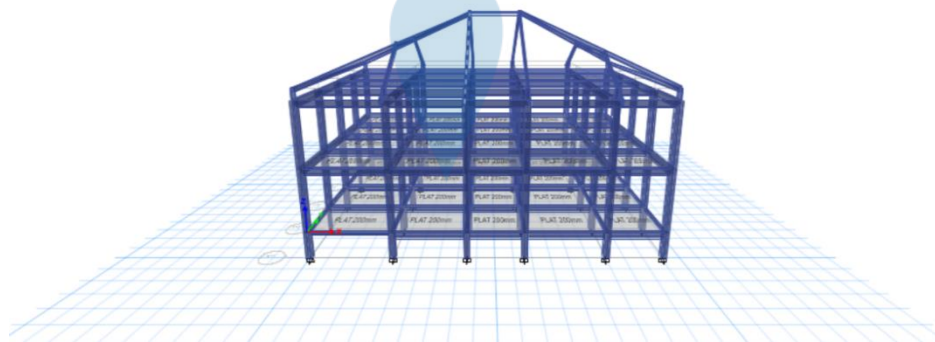
General Data	
Property Name	K1 30 X 30
Material	TULANGAN UTAMA fy 420 MP
Notional Size Data	<a href="#">Modify/Show Notional Size...</a>
Display Color	<span style="background-color: yellow;"> </span> Change...
Notes	<a href="#">Modify/Show Notes...</a>
Shape	
Section Shape	Concrete Rectangular
Section Property Source	
Source: User Defined	
Section Dimensions	
Depth	40 mm
Width	3 mm
Design Type	
<input checked="" type="radio"/> P-M2-M3 Design (Column)	<input type="radio"/> M3 Design Only (Beam)
Rebar Material	
Longitudinal Bars	TULANGAN UTAMA fy 420 MP
Confinement Bars (Ties)	Tulangan sengkang Fy 280 Mf
Reinforcement Configuration	
<input checked="" type="radio"/> Rectangular	<input type="radio"/> Circular
Confinement Bars	
<input checked="" type="radio"/> Ties	<input type="radio"/> Spirals
Check/Design	
<input type="radio"/> Reinforcement to be Checked	
<input checked="" type="radio"/> Reinforcement to be Designed	
Longitudinal Bars	
Clear Cover for Confinement Bars	40 mm
Number of Longitudinal Bars Along 3-dir Face	3
Number of Longitudinal Bars Along 2-dir Face	4
Longitudinal Bar Size and Area	20 ... 314 mm <sup>2</sup>
Corner Bar Size and Area	20 ... 314 mm <sup>2</sup>
Confinement Bars	
Confinement Bar Size and Area	10 ... 79 mm <sup>2</sup>
Longitudinal Spacing of Confinement Bars (Along 1-Axis)	150 mm
Number of Confinement Bars in 3-dir	3
Number of Confinement Bars in 2-dir	3
<a href="#">OK</a> <a href="#">Cancel</a>	
<input type="checkbox"/> Include Automatic Rigid Zone Area Over Column	



Gambar 2. 9 Section Proportion Balok dan Kolom

c. Pemodelan 3D Struktur

Setelah material dan section properties sudah lengkap, langkah selanjutnya adalah membuat model 3D. Model mengakomodasi semua ukuran balok dan kolom, beserta tulangan yang direncanakan untuk terpasang ditunjukkan pada Gambar 2.10 berikut ini.

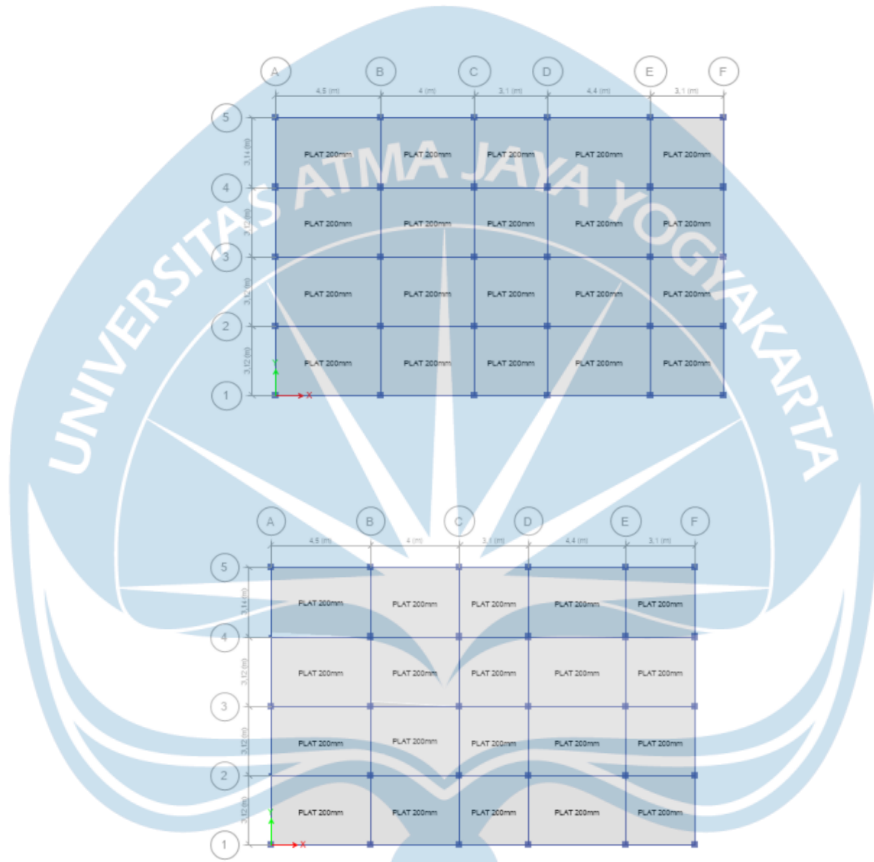


Gambar 2. 10 Model 3D gedung

d. Memberikan Beban yang Bekerja

Secara garis besar, beban yang bekerja pada struktur ini dibedakan menjadi:

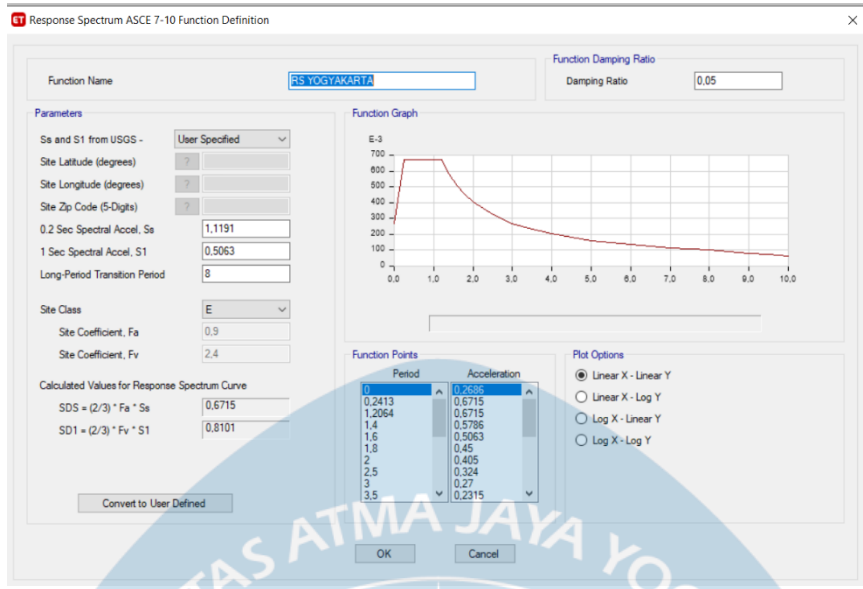
- beban mati (berat sendiri baja, beban dinding),
- beban mati tambahan (plafond, mekanikal,dll)
- beban hidup (beban yang bekerja), dan
- beban gempa. (respons spektrum)



Gambar 2. 11 Pembebanan Pelat Lantai di Model 3D

e. Memberikan Beban Gempa

Beban gempa dimodelkan dalam Program dengan fungsi respon spectrum. Perhitungan dan besaran dapat dilihat pada bagian Input data – respon spektrum. Setelah didapat grafik respon spektrum, grafik kemudian di input ke dalam program, seperti yang ditunjukkan oleh Gambar 2.12 berikut.



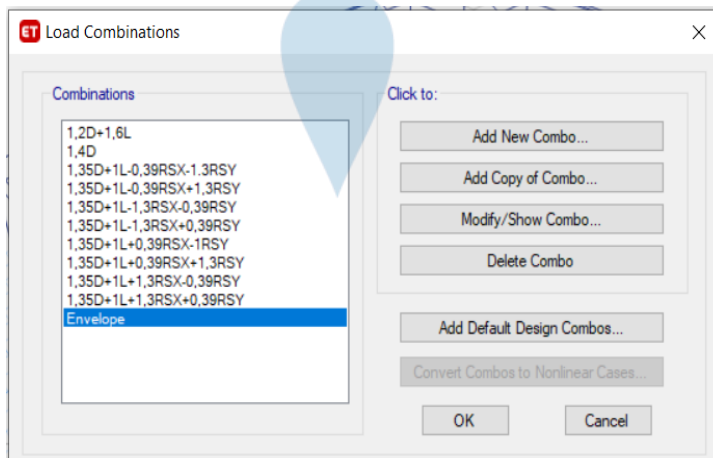
Gambar 2. 12 Input Beban Gempa

Setelah beban gempa berhasil masuk, dilakukan kombinasi pembebanan yang memungkinkan beberapa beban ekstrim bekerja bersamaan.

f. Memberikan Kombinasi dan Faktor Pembebanan

Kombinasi pembebanan yang digunakan mengacu pada SNI 1726:2019 Tata Cara Perencanaan Ketahanan Gempa untuk Struktur Bangunan Gedung dan NonGedung, dalam laporan ini pembahasan kombinasi pembebanan dilakukan pada bagian Input Data

- Kombinasi Pembebana

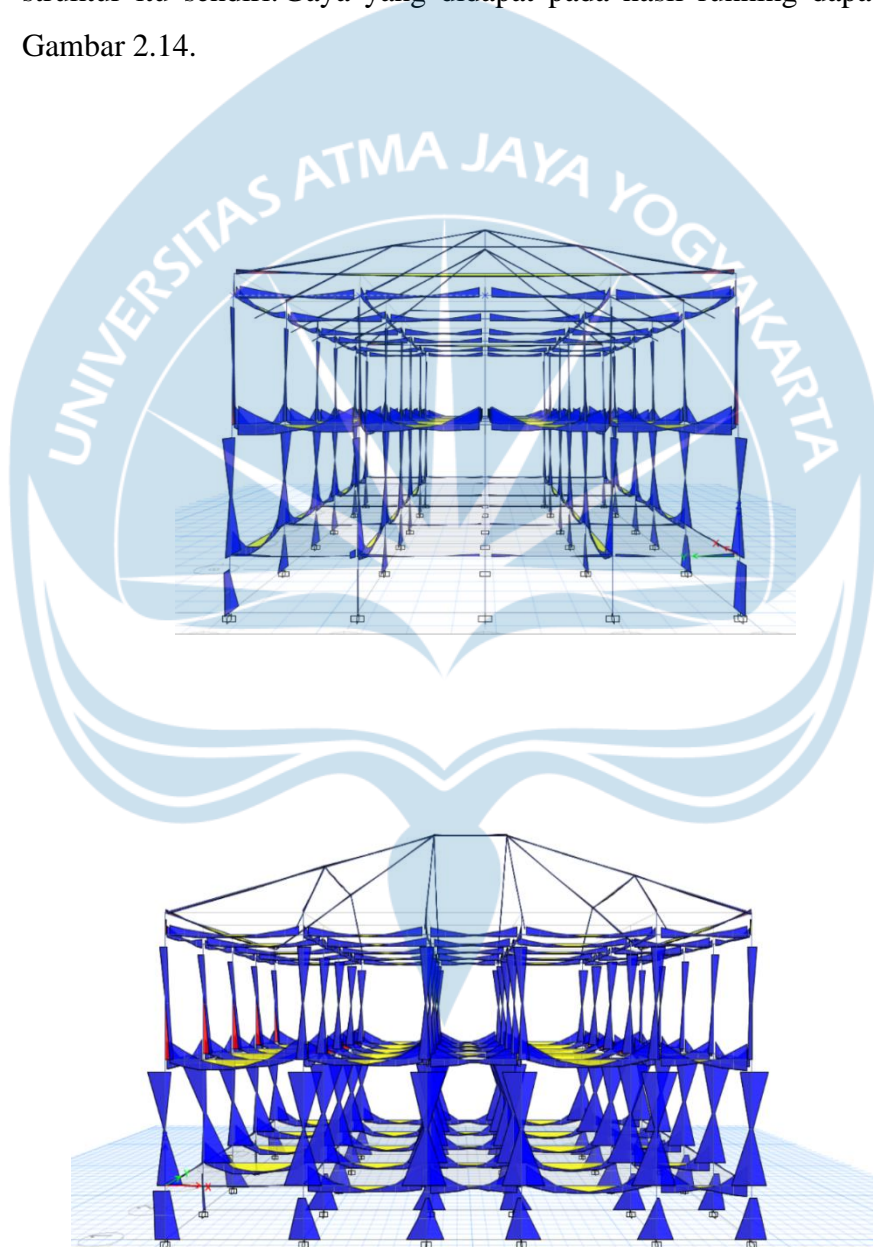


Gambar 2. 13 Input Kombinasi Beban

g. Running Program

Setelah semua gaya terpasang, beberapa perlakuan terhadap struktur dilakukan seperti pemberian *mass source* dan diafragma, setelah itu dilakukan running program.

Hasil dari running program adalah berupa gaya gaya dalam yang bekerja pada balok dankolom struktur. Gaya ini adalah kunci dalam menganalisa kekuatan struktur itu sendiri. Gaya yang didapat pada hasil running dapat dilihat pada Gambar 2.14.



Gambar 2. 14 Gaya yang bekerja, Hasil Running

#### h. Hasil Gaya Dalam

Gaya yang sudah di dapat kemudian diexport ke dalam excel, dan dilakukan analisa. Setiap elemen struktur dicek nilai keamanannya. Hasil pengecekan juga ditampilkan dalam excel seperti pada lampiran.

### 2.7. Pengecekan Perilaku Struktur

#### 2.7.1. Pengecekan Periode Fundamental Struktur

Pada pekerjaan ini, tipe struktur yang digunakan adalah rangka baja pemikul momen sehingga didapatkan nilai  $C_t = 0,0466$  dan  $x = 0,9$ . Selanjutnya berdasarkan nilai  $SD_1 = 0,49$  g didapatkan koefisien  $C_u = 1,4$ . Sehingga didapatkan nilai  $T_a = 0,512$  detik dan  $C_u \cdot T_a = 0,989$  detik. Sehingga, periode struktur yang digunakan adalah  $T = 0,716$  detik.

#### 2.7.2. Pengecekan Modal Participation Mass Ratio

Berdasarkan hasil pemodelan struktur, rasio partisipasi modal massa (modal participation mass ratio) disajikan dalam Tabel 2.10. Jumlah ragam (modes) yang disyaratkan untuk menentukan ragam getar alami bagi struktur harus cukup untuk mendapatkan partisipasi massa ragam terkombinasi sebesar paling sedikit 100% dari massa aktual masing-masing arah horizontal ortogonal dari respons yang ditinjau oleh model, sesuai dengan Pasal 7.9.1 SNI 1726:2019.

Berdasarkan hasil pemodelan struktur, diperoleh bahwa pada kedua arah dengan melibatkan 40 ragam getar (modes), cukup untuk menghasilkan 100% dari massa aktual di kedua arah X dan Y (lihat Tabel 2.10).

Tabel 2. 10 Modal Participation Mass Ratio

Modal Participating Mass Ratios (Part 1 of 2)														
Case	Mode	Period sec	UX	UY	UZ	SumUX	SumUY	SumUZ	RX	RY	RZ	SumRX		
Modal	1	0,471	0,000 3	0,628 3	0	0,000 3	0,628 3	0	0,279 9	0,000 1	0,060 8	0,279 9		
Modal	2	0,454	0,668	0,000 7	0	0,668 3	0,629	0	0,000 3	0,329 1	0,000 6	0,280 2		
Modal	3	0,428	0,000 9	0,056 6	0	0,669 1	0,685 5	0	0,029 5	0,000 5	0,633 3	0,309 7		
Modal	4	0,195	0,002 8	0	0	0,671 9	0,685 5	0	8,714 E-07	0,009 7	0	0,309 7		
Modal	5	0,158	0,000 2	0,033 2	0	0,672 1	0,718 7	0	0,246 3	0,001	0,000 2	0,556		

Case	Mode	Period sec	UX	UY	UZ	SumUX	SumUY	SumUZ	RX	RY	RZ	SumRX
Modal	6	0,157	0,036 6	0,000 2	0	0,708 7	0,718 9	0	0,001 2	0,227 4	1,59E-0,557 05	-0,557 2
Modal	7	0,12	3,311 E-05	0,007	0	0,708 7	0,725 9	0	0,023 9	0,000 2	0,022 2	0,581 2
Modal	8	0,084	0,000 2	0,272 9	0	0,708 8	0,998 8	0	0,409 2	0,000 2	0,000 1	0,990 4
Modal	9	0,082	0,291	0,000 1	0	0,999 9	0,998 9	0	0,000 2	0,425 4	1,729 E-05	0,990 6

- Modal Participating Mass Ratios (Part 2 of 2)

SumRZ
0,0001
0,0608
0,3293
0,0614
0,3298
0,6947
0,3395
0,6947
0,3405
0,6949
0,5679
0,6949
0,5681
0,7169
0,5683
0,717
0,9938
0,717

### 2.7.3. Pengecekan Gaya Geser Dasar (Base Shear)

Pada prosedur analisis beban gempa spektrum respons ragam (RS), gaya geser dasar (base shear) yang diperoleh harus dibandingkan dengan gaya geser dasar (base shear) hasil prosedur analisis beban gempa gaya lateral ekivalen (ELF). Base shear spektrum respons ragam (RS) harus tidak kurang dari 80% base shear gaya lateral ekivalen (ELF). Jika hal ini tidak dipenuhi maka faktor skala gaya pada spektrum respons ragam (RS) harus dihitung ulang. Berikut ini disajikan hasil perhitungan dan pengecekan base shear untuk menentukan perlu tidaknya perhitungan ulang faktor skala gaya spektrum responsragam (RS). Berikut ini adalah base shear dari ETABS (lihat tabel 2.11).

Tabel 2. 11 Base Shear (ETABS)

Arah Gaya	Vs	Vs 100%	Vd	Kontrol		Skala Baru
				Vd ≥ Vs100%	OK	
X	16405,122 4	- 16405,122	8856,7781	OK	-	

Y	- 13670,935 4	- 13670,935	10083,8076	OK	-
---	---------------------	----------------	------------	----	---

Arah Gaya	Vs	Vs 100%	Vd	Kontrol $Vd \geq Vs100\%$
X	- 16405,122	- 16405,122	8856,7781	OK
Y	- 13670,935	- 13670,935	10083,808	OK

Hasil base shear dinamik untuk Gedung maintenance dari etabs sudah memenuhi syarat tidak kurang dari 80% base shear statik, sehingga faktor skala dapat digunakan.

#### 2.7.4. Pengecekan Eksentrisitas

Struktur gedung untuk semua kategori desain seismik (KDS) harus mempertimbangkan kantorsi rencana dan torsion tak terduga. Torsi tak terduga dikerjakan pada model struktur dengan memberikan eksentrisitas sebesar 5% masing-masing pada arah sumbu X dan Y. Pada pekerjaan ini, struktur gedung termasuk dalam kategori desain seismik D sehingga harus mempertimbangkan torsion rencana dan torsion tak terduga.

### 2.8. Desain Elemen Stuktur

#### 2.8.1. Perencanaan Atap

Atap Massa 1 (Gedung Maintenance)

Atap Massa 1 menggunakan Baja 37 dengan spesifikasi,  $F_u : 370 \text{ MPa}$

$F_y : 240 \text{ MPa}$

$E : 200.000 \text{ MPa}$

dan menggunakan Gording Kanal C dimensi  $200 \times 85 \times 20$  ( $t : 2,5 \text{ mm}$ ) dengan spesifikasi, perencanaan sebagai berikut:

Jarak antar Gording : 1m

Sudut :  $30^\circ$

$\sin \alpha : 0,5$

$\cos \alpha : 0,866025404$

Jarak antar Kuda-Kuda : 4,4 m

Massa atap : 4 kg/m<sup>2</sup> (Genteng Bitumen Onduvilla)

: 0,04 kN/m<sup>2</sup>

*Dead Load Gording* : Berat sendiri + Berat atap + Berat plafond

: 0,05 + 0,04 + 0,10

: 0,196 kN/m<sup>2</sup>

*Live Load Gording* : 0,96 kN/m<sup>2</sup>

Jumlah gording (n) : 16 m

Menggunakan Sag Rod dengan rencan pembebanan,

Ft,Dead load

$$: n \times \left( \frac{\text{Jarak antar kuda kuda}}{2} \right) \times \text{dead load gording} \times \sin \alpha$$

$$: 16 \times \left( \frac{4,4}{2} \right) \times 0,196 \times \sin 30$$

$$: 3,4529 \text{ kN}$$

Ft,Live load

$$: \frac{n}{2} \times \text{live load gording} \times \sin \alpha$$

$$: \frac{16}{2} \times 0,96 \times \sin 30$$

$$: 3,8400 \text{ kN}$$

Kombinasi beban untuk Sag Rod,

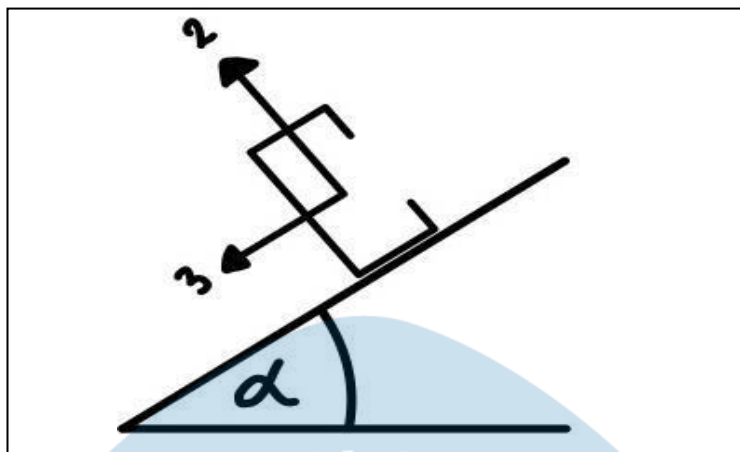
1,4 DL : 4,8341 kN

1,2 DL + 1,6 LL : 10,2875 kN

A Sag rod :  $\frac{10,2875 \times 10^3}{240} = 42,9$

Diameter Sag Rod : 10 mm

Perhitungan Momen pada Gording direncankan sesuai sketsa gambar 2.15.



Gambar 2. 15 Sketsa Momen pada Gording

Rencana Momen dengan Beban Gording yang ditinjau dari arah Sumbu 2

M3,D	: $1/8 q \cos \alpha L^2$ : 0,4112 kNm
M3,L	: $1/4 P \cos \alpha L$ : 0,9145 kNm
1,4 M3,D	: 0,5756 kNm
1,2 M3,D + 1,6 M3,L	: 1,9566 kNm

Rencana Momen dengan Beban Gording yang ditinjau dari arah Sumbu 3

M3,D	: $1/8 q \sin \alpha (L/2)^2$ : 0,0593 kNm
M3,L	: $1/4 P \sin \alpha L/2$ : 0,2640 kNm
1,4 M2,D	: 0,0831 kNm
1,2 M2,D + 1,6 M2,L	: 0,4936 kNm

#### a. Cek Tegangan pada Gording

$$W3 = Zx : 21.300 \text{ mm}^3$$

$$Ww = Zy : 7.800 \text{ mm}^3$$

$$fb = \frac{M_{3,U}}{\theta_x W_3} + \frac{M_{2,U}}{\theta_x W_w} \leq Fy$$

$$fb = \frac{1,9566}{0,9x 21.300} + \frac{0,4936}{0,9x 7.800} \leq Fy$$

$0,6 < 240 \text{ Mpa}$  ( Aman)

### b. Cek Defleksi Gording

$$I_3 = I_x : 1.060.000 \text{ mm}^4$$

$$I_2 = I_y : 240.000 \text{ mm}^4$$

$$\delta_2 = \frac{5}{384} x \frac{q \cos \alpha L^4}{EI} + \frac{1}{48} x \frac{P \sin \alpha L^3}{EI} = 4,32$$

$$\delta_2 = \frac{5}{384} x \frac{q \cos \alpha (\frac{L}{2})^4}{EI} + \frac{1}{48} x \frac{P \sin \alpha (\frac{L}{2})^3}{EI} = 0,69005$$

$$\delta = \sqrt{\delta_3^2 + \delta_2^2} = 4,38 \text{ mm}$$

$$\delta \leq \frac{1}{240} x \text{ jarak antar kuda kuda} x 1000$$

$4,32 \leq 18,33 \text{ mm}$  (aman)

### 2.8.2. Perencanaan Kuda kuda

Kuda kuda menggunakan frame baja dengan perencanaan dan pembebanan menggunakan dimensi ketebalan C 100 x 50 x 20 x 3,2 ( lihat tabel 2.12).

Tabel 2. 12 Penggunaan nomor Gording

No.	Dimensi & Ketebalan	Luas Area	Berat/unit	Moment Inersia	Modulus		Radius		Pusat Gravitasi	Pusat Gesekan	Konstanta Torsi	Konstanta Melengkung	
	H x B x C x t mm	A c m <sup>2</sup>	kg/m	I <sub>x</sub> c m <sup>4</sup>	I <sub>y</sub> c m <sup>4</sup>	Z <sub>x</sub> c m <sup>3</sup>	Z <sub>y</sub> cm <sup>3</sup>	r <sub>x</sub> cm	r <sub>y</sub> cm	C <sub>y</sub> cm	X <sub>o</sub> c m	J c m <sup>4</sup>	C w c m <sup>6</sup>
1	C 100x50x2 0x2,0	4,5 4	3,5 6	71	17	14, 3	5,4 0	3,9 7	1,9 3	1,87	4,4 8	605	44
2	C 100x50x2 0x2,3	5,1 7	4,0 6	81	19	16, 1	6,0 0	3,9 5	1,9 2	1,86	4,4 6	912	49 6
3	C 100x50x2 0x2,5	5,5 9	4,3 9	87	20	17, 3	6,5 0	3,9 4	1,9 0	1,86	4,4 5	116 4	52 8
4	C 100x50x2 0x2,8	6,2 0	3,8 7	95	22	19, 1	7,1 0	3,9 2	1,8 9	1,86	4,4 2	162 1	57 4
5	C 100x50x2 0x3,0	6,6 1	5,1 9	10 1	23	20, 2	7,4 0	3,9 1	1,8 8	1,86	4,4 1	198 2	60 3

6	C 100x50x2 0x3,2	7,0 1	5,5 0	10 6	24	21, 3	7,8 0	3,9 0	1,8 7	1,86	4,4 0	239 2	63 0
---	------------------------	----------	----------	---------	----	----------	----------	----------	----------	------	----------	----------	---------

Jarak antar Kuda-Kuda : 4,4 m

Massa Plafond : 10 kg/m<sup>2</sup>

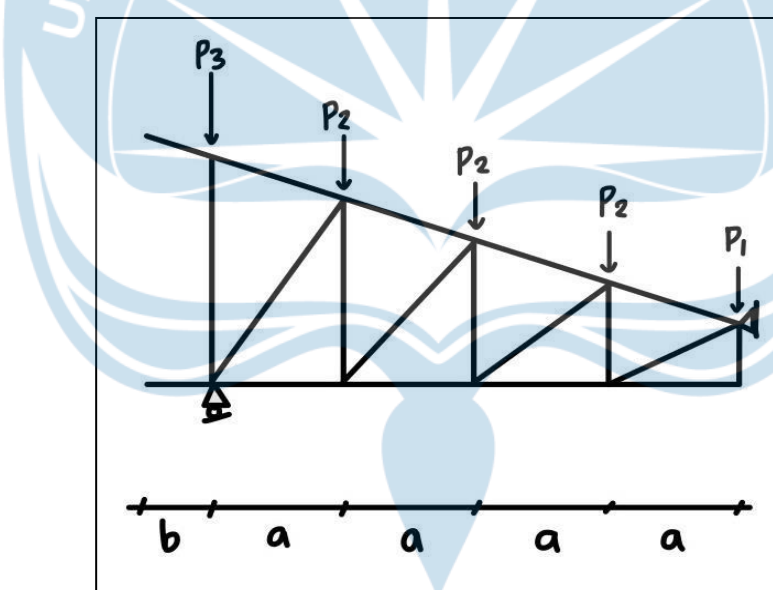
: 0,10 kN/m<sup>2</sup>

Berat Gording : 5,5 kg/m

: 0,05 kN/m

Berat Kuda-Kuda : 21,3 kg/m

: 0,21 kN/m



Gambar 2. 16 Sketsa Pembebanan Kuda-Kuda

Beban P1

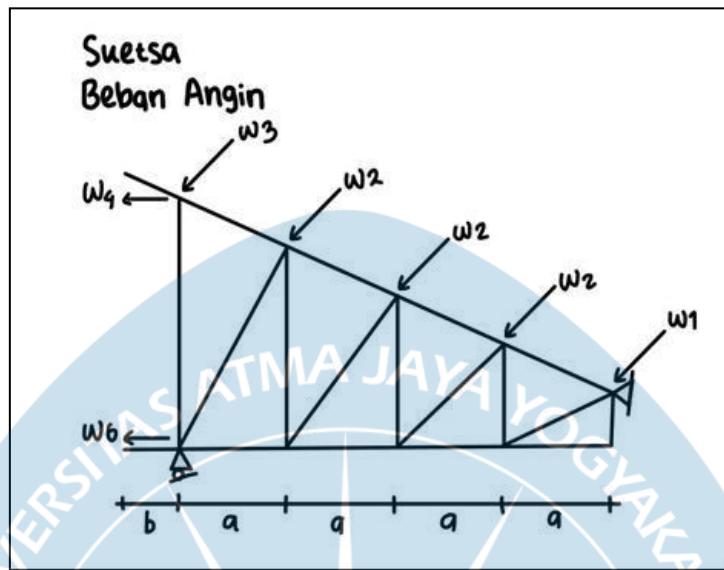
Berat sendiri kuda-kuda :  $a/2 \times \text{berat kuda-kuda}$ :  $1/2 \times 0,21$   
: 0,104 kN

Berat gording : jarak antar kuda-kuda x berat gording/m  
:  $4,8 \times 0,05$  : 0,220 kN

Berat atap :  $(a/2)/\cos \alpha \times \text{jarak antar kuda-kuda} \times \text{berat atap}$   
:  $(1/2)/\cos 30^\circ \times 4,4 \times 0,04$  : 0,102 kN

Berat plafond	: $(a/2 + b) \times \text{jarak antar kuda-kuda} \times \text{berat plafond}$ : $(1/2+1) \times 4,4 \times 0,10 : 0,66 \text{ kN}$
Beban P1	: $0,104 + 0,220 + 0,102 + 0,66$ : $1,086 \text{ kN}$
Beban P2	
Berat sendiri kuda-kuda	: $a \times \text{berat kuda-kuda}$ : $1 \times 0,21$ : $0,209 \text{ kN}$
Berat gording	: $\text{jarak antar kuda-kuda} \times \text{berat gording per m}^2$ : $4,4 \times 0,05$ : $0,220 \text{ kN}$
Berat atap	: $a/\text{Cos } \alpha \times \text{jarak antar kuda-kuda} \times \text{berat atap}$ : $1/\text{Cos } 30^\circ \times 4,4 \times 0,04$ : $0,203 \text{ kN}$
Berat plafond	: $a \times \text{jarak antar kuda-kuda} \times \text{berat plafond}$ : $1 \times 4,4 \times 0,10$ : $0,44 \text{ kN}$
Beban P2	: $0,209 + 0,220 + 0,203 + 0,44$ : $1,072 \text{ kN}$
Beban P3	
Berat sendiri kuda-kuda	: $a \times \text{berat kuda-kuda}$ : $1 \times 0,21$ : $0,209 \text{ kN}$
Berat gording	: $2 \times \text{jarak antar kuda-kuda} \times \text{berat gording per m}^2$ : $2 \times 4,4 \times 0,05$ : $0,440 \text{ kN}$
Berat atap	: $(a+b)/\text{Cos } \alpha \times \text{jarak antar kuda-kuda} \times \text{berat atap}$ : $(1+2) / \text{Cos } 30^\circ \times 4,4 \times 0,04$ : $0,406 \text{ kN}$
Berat plafond	: $(a+b) \times \text{jarak antar kuda-kuda} \times \text{berat plafond}$ : $(1+2) \times 4,4 \times 0,10$ : $0,88 \text{ kN}$

$$\begin{aligned}\text{Beban P3} & : 0,209 + 0,440 + 0,406 + 0,88 \\ & : 1,935 \text{ kN}\end{aligned}$$



Gambar 2. 17 Gambar sketsa beban angin kuda-kuda

Perencanaan beban angin pada kuda-kuda direncanakan dengan menggunakan koefisien tekanan atap yang di dapat dari tabel koefisien tekanan atap pada SNI 1727: 2013 untuk menentukan nilai Cti dan Cis setelah dilakukan interpolasi.

Dari data yang diketahui :

$$h : 3,6 \text{ m}$$

$$L : 12,3 \text{ m}$$

$$h/L : 0,29$$

Maka, dari tabel didapatkan Cti : (-0,20) dan Cis (-0,60)

Beban angin ditinjau dari arah kanan

Beban W1 : (jarak antar gording/2) x Cos a x Cti x jarak antar kuda-kuda x h/L

$$\begin{aligned}& : (1/2) x \cos 30^\circ x (-0,20) x 4,4 x 0,29 \\& : -0,112 \text{ kN}\end{aligned}$$

Beban W2 : jarak antar gording/Cos a x Cti x jarak antar kuda-kuda x h/L

$$\begin{aligned}& : 1/\cos 30^\circ x (-0,20) x 4,4 x 0,29 \\& : -0,297 \text{ kN}\end{aligned}$$

Beban W3 :  $1/2 \times \text{jarak antar gording}/\text{Cos } \alpha \times C_{ti} \times \text{jarak antar kuda-kuda} \times h/L$

$$\begin{aligned} &: 1/2 \times 1/\text{Cos } 30^\circ \times (-0,20) \times 4,4 \times 0,29 \\ &: -0,149 \text{ kN} \end{aligned}$$

Beban W4 :  $1/2 \times (\text{jarak antar gording} + b)/\text{Cos } \alpha \times C_{is} \times \text{jarak antar kuda-kuda} \times h/L$

$$\begin{aligned} &: 1/2 \times (1 + 1)/\text{Cos } 30^\circ \times (-0,60) \times 4,4 \times 0,29 \\ &: -0,892 \text{ kN} \end{aligned}$$

Beban W6 :  $(\text{jarak antar gording}/2 + 0)/\text{Cos } \alpha \times C_{is} \times \text{jarak antar kuda-kuda} \times h/L$

$$\begin{aligned} &: (1/2 + 0)/\text{Cos } 30^\circ \times (-0,60) \times 4,4 \times 0,29 \\ &: -0,446 \text{ kN} \end{aligned}$$

### 2.8.3. Perencanaan Kapasitas Kuda - Kuda Atap

Untuk Kuda kuda digunakan Baja Wide Flange 37 dengan dimensi sebagai berikut :

$$H : 200 \text{ mm}$$

$$B : 100 \text{ mm}$$

$$b : 25 \text{ mm}$$

$$t_1 : 5,5 \text{ mm}$$

$$t_2 : 8 \text{ mm}$$

$$I_x : 1,840 \text{ cm}^4$$

$$I_y : 134 \text{ cm}^4$$

$$Z_x : 184 \text{ cm}^3$$

$$Z_y : 26,8 \text{ cm}^3$$

Berdasarkan SNI 1729:2015 harus dilakukan pengecekan Kontrol Kelangsungan Penampang

$$\lambda \text{ sayap} = \frac{B}{t_2} = \frac{100}{8} = 12,5$$

$$\lambda \text{ sayap} = \frac{H}{t_1} = \frac{200}{5,5} = 36,4$$

$$\lambda p \text{ sayap} = 1,12 \times \sqrt{\frac{E}{F_y}} = 32,33 ; \lambda r \text{ sayap} = 1,40 \times \sqrt{\frac{E}{F_y}} = 40,41$$

$$\lambda p \text{ badan} = 2,42 \times \sqrt{\frac{E}{F_v}} = 69,86 ; \lambda r \text{ sayap} = 1,40 \times \sqrt{\frac{E}{F_y}} = 164,54$$

sayap :  $\lambda \leq \lambda p$ , maka "Penampang Kompak"

Badan :  $\lambda \leq \lambda p$ , maka "Penampang Kompak"

#### a. Kontrol terhadap lendutan

Akibat Beban Mati

$$S_x : \frac{5 \times q_x \text{ beban mati} \times 10^{-2} \times L^4}{384 \times E \times I_y}$$

$$: \frac{5 \times (\text{beban mati} \times \sin 30^\circ) 10^{-2} \times L^4}{384 \times E \times I_y}$$

$$: \frac{5 \times q_x 0,27 \times 10^{-2} \times 4,4^4}{384 \times 2.000.000 \times 134}$$

$$: 0,005 \text{ cm}$$

$$S_y : \frac{5 \times q_y \text{ beban mati} \times 10^{-2} \times L^4}{384 \times E \times I_y}$$

$$: \frac{5 \times (\text{beban mati} \times \cos 30^\circ) 10^{-2} \times L^4}{384 \times E \times I_x}$$

$$: \frac{5 \times q_x 0,46 \times 10^{-2} \times 4,4^4}{384 \times 2.000.000 \times 1,840}$$

$$: 0,609 \text{ cm}$$

Akibat Beban Hidup

$$S_x : \frac{P_x \text{ total} \times 10^{-2} \times L^3}{48 \times E \times I_y}$$

$$: \frac{(P_x \text{ beban hidup pekerja} + P_x \text{ beban air hujan}) \times 10^{-2} \times L^3}{48 \times E \times I_y}$$

$$: \frac{0,58 \times 10^{-2} \times 4,4^3}{48 \times 2.000.000 \times 134}$$

$$: 0,00004 \text{ cm}$$

$$S_y : \frac{P_x \text{ total} \times 10^{-2} \times L^3}{48 \times E \times I_x}$$

$$: \frac{(Py \text{ beban hidup pekerja} + Py \text{ beban air hujan})x 10^{-2} x L^3}{48 x 2.000.000 x lx}$$

$$: \frac{1 x 10^{-2} x 4,4^3}{48 x 2.000.000 x 1,840}$$

$$: 0,005 \text{ cm}$$

Akibat Beban Angin

$$Sx : \frac{5 x Wx x 10^{-2} x L^4}{384 x E x ly}$$

$$: \frac{5 x (-0,19)x 10^{-2} x L^4}{384 x 2.000.000 x 134}$$

$$: -0,003 \text{ cm}$$

$$Sy : \frac{5 x Wy x 10^{-2} x L^4}{384 x E x lx}$$

$$: \frac{5 x (-0,67)x 10^{-2} x L^4}{384 x 2.000.000 x 1,840}$$

$$: -0,887 \text{ cm}$$

Kombinasi Lendutan

$$Sx \text{ total} : Sx \text{ Beban Mati} + Sx \text{ Beban Hidup} + Sx \text{ Beban Angin}$$

$$: 0,005 + 0,00004 + (-0,003)$$

$$: 0,001 \text{ cm}$$

$$Sy \text{ total} : Sy \text{ Beban Mati} + Sy \text{ Beban Hidup} + Sy \text{ Beban Angin}$$

$$: 0,609 + 0,005 + (-0,887)$$

$$: -0,273 \text{ cm}$$

Syarat Lendutan

$$S \text{ timbul} : \sqrt{Sx \text{ total}^2 + Sy \text{ total}^2}$$

$$: \sqrt{(0,001)^2 + (-0,273)^2}$$

$$: 0,273 \text{ cm}$$

$$S \text{ timbul} < S \text{ syarat}$$

$0,273 < 1,833$ , maka profil aman terhadap lendutan

Pembebatan yang digunakan untuk menghitung kapasitas,

Beban P1 : Berat gording + Berat atap

$$: 0,220 + 0,102 = 0,322 \text{ kN}$$

Beban P2 : Berat gording + Berat atap

$$: 0,220 + 0,203 = 0,423 \text{ kN}$$

Beban P3 : Berat gording + Berat atap

$$: 0,440 + 0,406 = 0,846 \text{ kN}$$

*Dead Load* :  $\frac{\text{Beban P1} + \text{Beban P2} + \text{Beban P3}}{3}$

$$: 2,803 \text{ kN/m}^2$$

*Live Load* :  $0,96 \text{ kN/m}^2$

Air Hujan :  $0,2 \text{ kN/m}^2$

Angin Tekan :  $-0,1859 \text{ kN/m}^2$

Angin Hisap :  $-0,6692 \text{ kN/m}^2$

**b.** Kombinasi Pembebatan yang digunakan

1,4D

Sumbu 3 :  $1,4 \times M3,D$

$$: 0,5576 \text{ kN}$$

Sumbu 2 :  $1,4 \times M2,D$

$$: 0,0831 \text{ kN}$$

$1,2D + 1,6L + 0,5W$

Sumbu 3 :  $1,2 \times M3,D + 1,6 \times (1/4 \times 0,03 \times 4,4) + 0,5 \times (1/8 \times (-0,37) \times 4,4^2)$

$$: 0,4445 \text{ kN}$$

Sumbu 2 :  $1,2 \times M2,D + 1,6 \times (1/4 \times 0,20 \times 4,4) + 0,5 \times (1/8 \times (-0,66) \times 4,4^2)$

$$: (-0,4336) \text{ kN}$$

$0,9D + 1W$

$$\text{Sumbu 3} : 0,9 \times M_{3,D} + 1 \times (1/8 \times (-0,37) \times 4,4^2)$$

$$: (-0,0798) \text{ kN}$$

$$\text{Sumbu 2} : 0,9 \times M_{2,D} + 1 \times (1/8 \times (-0,66) \times 4,4^2)$$

$$: (-1,5660) \text{ kN}$$

$$1,2D + 1,6L + 0,5R$$

$$\text{Sumbu 3} : 1,2 \times M_{3,D} + 1,6 \times M_{3,L} + 0,5 \times (1/4 \times 0,003 \times 4,4)$$

$$: 2,1766 \text{ kN}$$

$$\text{Sumbu 2} : 1,2 \times M_{2,D} + 1,6 \times M_{2,L} + 0,5 \times (1/4 \times 0,20 \times 4,4)$$

$$: 0,8447 \text{ kN}$$

c. Menghitung momen nominal yang bekerja pada profil

Pasal 8-2.3, SNI 03-1729-2002, hal 36

karena dari hasil analisis kelangsungan penampang diketahui bahwa profil yang digunakan merupakan penampang kompak, maka berlaku :

$$M_n = M_p$$

$$M_p = Z \times$$

$$F_y$$

$$M_{nx} : Z_x \times F_y$$

$$: 184 \times 10^3 \times 240$$

$$: 44.160.000 \text{ Nmm}$$

$$M_{ny} : Z_y \times F_y$$

$$: 26,8 \times 10^3 \times 240$$

$$: 6.432.000 \text{ Nmm}$$

d. Mengecek Kontrol Profil terhadap Tegangan Lentur

$$\frac{M_{ux\ max}}{\theta b \times M_{nx}} + \frac{M_{uy\ max}}{\theta b \times M_{ny}} \leq 1,0$$

$$\frac{2.176637188}{\theta b \times 44.160.000} + \frac{1.565962377}{\theta b \times 6.432.00} \leq 1,0$$

$0,00000033 \leq 1,0$ , maka profil aman terhadap tegangan lentur

#### 2.8.4. Perencanaan Sambungan Baut

Pada *frame*, digunakan juga sambungan dengan dimensi

$t$  : 10 mm

$b$  : 100 mm

Lubang baut, Baut A325

$D_b$  : 16 mm

Bj 37

$F_y$  : 240 MPa

$F_u$  : 370 MPa

Tata letak baut dalam 2 baris

Menghitung Leleh

$$\emptyset P_n : (0,9 \times (b \times t) \times F_y / 1000$$

$$: (0,9 \times (100 \times 10) \times 240 / 1000$$

$$: 216 \text{ kN}$$

Menghitung Fraktur

$$\emptyset P_n : 0,75 \times (t \times b - (2 \times (db + 2)) \times t \times F_u / 1000$$

$$: 0,75 \times (10 \times 100 - (2 \times (16 + 2)) \times 10 \times 370 / 1000$$

$$: 177,6 \text{ kN}$$

Batang Tarik mampu memikul :

$$\emptyset P_n : 177,6 \text{ kN}$$

## Hitungan Sambungan

Fav 372

$$Ab : (1/4 \times \phi \times db^2)/1000 \times 2$$

$$: (1/4 \times \phi \times 16^2)/1000 \times 2$$

$$: 0,40212386$$

### Baut Putus

$$\emptyset Rn : (0,75 \times Fav \times Ab)$$

$$: (0,75 \times 372 \times 0,40212386)$$

$$: 112,2 \text{ kN}$$

$$Spasi (s) : 3 \times \text{diameter baut}$$

$$: 3 \times 16$$

$$: 48 \text{ mm (dibulatkan menjadi 50)}$$

$$Lc : spasi / 2$$

$$: 50/2$$

$$: 25 \text{ mm}$$

### Pelat Sobek

$$\emptyset Rn \min : 1,2 \times ((Lc - \frac{1}{2} \times (db + 2) \times t \times Fu) / 1000)$$

$$: 1,2 \times (25 - \frac{1}{2} \times (16 + 2) \times 10 \times 370) / 1000$$

$$: 71,04 \times 0,75$$

$$: 53,28 \text{ kN (lubang baut)}$$

$$\emptyset Rn \min : (2,4 \times db \times t \times Fu) / 1000$$

$$: (2,4 \times 16 \times 10 \times 370) / 1000$$

$$: 142,08 \times 0,75$$

$$: 106,65 \text{ kN (lubang baut)}$$

### Peletakkan Baut

$\emptyset P_n$  : 177,6 kN (dari fraktur)

$\emptyset R_n$  : 53,28 kN (dari pelat tumpu)

n : 177,6 / 53,28

: 3,33 (dibulatkan menjadi 4 buah baut)

### 2.8.5. Desain Pelat Lantai

Desain pelat lantai dilakukan berdasarkan SNI 2847:2013 Tata Cara

Perhitungan Struktur Beton untuk Bangunan Gedung. Pada bab ini disajikan prosedur perhitungan/desain pelat lantai tipe II (tebal 120 mm). Selanjutnya desain pelat lantai tipe lainnya dilakukan dengan prosedur perhitungan yang sama. Perhitungan Tebal Plat dan Tulangan Negatif.

#### a. Data Pelat Lantai

#### b. Data Perhitungan Pelat Lantai

Data Pelat dan Tulangan :

Perhitungan Balok dan Kolom :

Balok Induk

Horizontal :

Dimensi Balok

= 0,250 x 0,350 m

Balok Induk Vertical :

Dimensi Balok

= 0,250 x 0,350 m

Tebal Minimum Pelat :

Mutu beton kolom dan balok ( $fcb'$ )	=	25,000	Mpa
Mutu beton pelat ( $fcs'$ )	=	25,000	Mpa
Mutu baja tulangan ( $Fy$ )	=	420,000	Mpa

Modulus Elastisitas Beton  
( $Ecb$ ) = 23500,00 Mpa

Modulus Elastisitas Pelat ( $Ecs$ ) = 23500,00 Mpa

Koefesien  $Fy$  = 0,85

Tebal Pelat = 120 mm

Tebal Selimut ( $ts$ ) = 30 mm

Diameter tulangan lentur = 10 mm

Diameter tulangan susut = 8 mm

Pada perhitungan penulangan pelat lantai untuk menentukan nilai Mu digunakan dengan persamaan berikut sebagai contoh menghitung nilai Mu (Ly) pada lantai S1, dengan rumus persamaan berikut.

$$\text{Mu} = 0,001 \times \text{beban pelat} \times \left(\frac{Lx}{1000}\right)^2 \times \text{koefisien} \quad (2.10)$$

$$= 0,001 \times 13,962 \times \left(\frac{3120}{1000}\right)^2 \times 36 = 4,7982026 \frac{\text{kN}}{\text{m}} \text{ (lihat tabel 2.13).}$$

Tabel 2. 13 Perhitungan penulangan pelat lantai

Tipe Pelat		Kondisi Tumpuan		Arah	Koefisien	Beban	Mu	
Lantai	S1	Ly	4500	Mlx	36	13,692	4.7982026	kN/m
		Lx	3120	Mtx	36		-4.798203	kN/m
		ht	120	Mly	36		9.981468	kN/m
		ly/lx	1.442	Mty	36		-9.981468	kN/m
Lantai	S2	Ly	4000	Mlx	58,67	13,692	7.9203117	kN/m
		Lx	3140	Mtx	58,67		-7.920312	kN/m
		ht	120	Mly	36		7.886592	kN/m
		ly/lx	1.274	Mty	36		-7.886592	kN/m
Lantai	S3	Ly	3120	Mlx	36	13,692	4.7368843	kN/m
		Lx	3100	Mtx	36		-4.736884	kN/m

		ht	120	Mly	36		4.7982026	kN/m
		ly/lx	1,006	Mty	36		-4.798203	kN/m
Lantai	S4	Ly	4400	Mlx	50,99	13,692	6.8835298	kN/m
		Lx	3140	Mtx	50,99		-6.88353	kN/m
		ht	120	Mly	38		10.072931	kN/m
		ly/lx	1.401	Mty	38		-10.07293	kN/m
Lantai	S5	Ly	3140	Mlx	63	13,692	8.2895476	kN/m
		Lx	3100	Mtx	63		-8.289548	kN/m
		ht	120	Mly	34		4.5899199	kN/m
		ly/lx	1.013	Mty	34		-4.58992	kN/m

#### Tulangan Lentur

Pelat	Tulangan Arah X														CEK	
	dx	Mnx	Rn	m	$\rho$	$\rho_{min}$	$\rho_{yg}$ digunakan	As perlu	s	s pakai	As terpasang	Dipasang tulangan				
	mm	N.mm														
S1	85	5331336.192	0.74	19.76	0.0017885	0,0014	0,002	170	360	150	523.6	D	10	-	150	OK
S2	85	8800346.363	1.22	19.76	0.0029883	0,0014	0,002	170	360	150	523.6	D	10	-	150	OK
S3	85	5263204.800	0.73	19.76	0.0017652	0,0014	0,002	170	360	150	523.6	D	10	-	150	OK
S4	85	7648366.474	1.06	19.76	0.002587	0,0014	0,002	170	360	150	523.6	D	10	-	150	OK
S5	85	9210608.400	1.27	19.76	0.0031323	0,0014	0,002	170	360	150	523.6	D	10	-	150	OK

Pelat	Tulangan Arah Y														CEK	
	dy	Mny	Rn	m	$\rho$	$\rho_{min}$	$\rho_{yg}$ digunakan	As perlu	s	s pakai	As terpasang	Kesimpulan				
	mm	N.mm														
S1	75	8762880,00	1.97	19.76	0.0049351	0,0014	0,002	150	360	150	523.6	D	10	-	150	OK
S2	75	13692000,00	1.56	19.76	0.0038561	0,0014	0,002	150	360	150	523.6	D	10	-	150	OK

S3	75	5331336.192	0.95	19.76	0.002309	0,0014	0,002	150	360	150	523.6	D	10	-	150	OK
S4	75	11192145.067	1.99	19.76	0.004982	0,0014	0,002	150	360	150	523.6	D	10	-	150	OK
S5	75	5099910.965	0.91	19.76	0.002206	0,0014	0,002	150	360	150	523.6	D	10	-	150	OK

### Tulangan Susut

Pelat	Tulangan Arah X														CEK	
	dx	Mnx	Rn	m	$\rho$	$\rho_{min}$	$\rho$ yg digunakan	As perlu	s	s pakai	As terpasang	Dipasang tulangan				
	mm	N.mm														
S1	86	5331336.192	0.72	19.76	0.0017464	0,0014	0,002	172	600	300	261.8	D	8	-	300	OK
S2	86	8800346.363	1.19	19.76	0.0029171	0,0014	0,002	172	600	300	261,8	D	8	-	300	OK
S3	86	5263204.800	0.71	19.76	0.0017237	0,0014	0,002	172	600	300	261.8	D	8	-	300	OK
S4	86	7648366.474	1.03	19.76	0.002525	0,0014	0,002	172	600	300	261.8	D	8	-	300	OK
S5	86	9210608.400	1.25	19.76	0.0030575	0,0014	0,002	172	600	300	261.8	D	8	-	300	OK

Pelat	Tulangan Arah Y														CEK	
	dy	Mny	Rn	m	$\rho$	$\rho_{min}$	$\rho$ yg digunakan	As perlu	s	s pakai	As terpasang	Kesimpulan				
	mm	N.mm														
S1	78	11090520.000	1.82	19.76	0.0045443	0,0014	0,002	156	600	200	392.7	D	8	-	200	OK
S2	78	8762880.000	1.44	19.76	0.0035542	0,0014	0,002	156	600	200	392.7	D	8	-	200	OK
S3	78	5331336.192	0.88	19.76	0.0021313	0,0014	0,002	156	600	200	392.7	D	8	-	200	OK

S4	78	9249706,67	1.84	19.76	0.004588	0,0014	0,002	156	600	200	392.7	D	8	-	200	OK
S5	78	12931333,33	0.84	19.76	0.002036 8	0,0014	0,002	156	600	200	392.7	D	8	-	200	OK

## 2.8.6. Desain Balok

### 2.8.6.1 Balok (250x350)

Pada perhitungan desain balok dipakai SNI 2847 : 2019 tentang persyaratan Beton Struktural untuk bangunan Gedung

Parameter	Pasal Referensi	Persamaan	Satuan	Nilai
	SNI 2847:2019			
Properti Material dan Penampang				
Panjang Balok, L		Input	mm	3100
Lebar Balok, b		Input	mm	250
Tinggi Balok, h		Input	mm	350
Panjang Tumpuan	18.6.4.1	2 * h	mm	700
Diameter Tulangan Longitudinal, $d_b$		Input	mm	32
Diameter Tulangan Pinggang, $d_{bt}$		Input	mm	10
Diameter Tulangan Sengkang, $d_s$		Input	mm	10
Selimut Bersih, $c_c$		Input	mm	40
Tinggi Efektif Balok, D		$h - c_c - d_s - d_b/2$	mm	293.5
Kuat Tekan Beton, $f_c'$		Input	MPa	25
Kuat Leleh Tul. Longitudinal, $f_y$		Input	MPa	420
Kuat Leleh Tul. Transversal, $f_y$		Input	MPa	280
$\beta_1$	Tabel 22.2.2.4.3	$0.65 \leq 0.85 - 0.05 * (f_c' - 28) / 7 \leq 0.85$		0.8500

Panjang Kolom, $c_1$		Input (Sisi tegak lurus lebar balok)	mm	300
Lebar Kolom, $c_2$		Input (Sisi yang ditempel balok/sejajar lebar balok)	mm	300
$L_n$		$L - c_1$	mm	2800
$\Lambda$		Asumsi tidak menggunakan beton ringan		1

### a. Desain Geser

Parameter	Pasal Referensi	Persamaan	Satuan	Nilai
	SNI 2847:2019			
Properti Material dan Penampang				
Panjang Balok, $L$		Input	mm	3100
Lebar Balok, $b$		Input	mm	250
Tinggi Balok, $h$		Input	mm	350
Panjang Tumpuan	18.6.4.1	$2 * h$	mm	700
Diameter Tulangan Longitudinal, $d_b$		Input	mm	32
Diameter Tulangan Pinggang, $d_{bt}$		Input	mm	10
Diameter Tulangan Sengkang, $d_s$		Input	mm	10
Selimut Bersih, $c_c$		Input	mm	40
Tinggi Efektif Balok, $D$		$h - c_c - d_s - d_b/2$	mm	293.5
Kuat Tekan Beton, $f_c'$		Input	MPa	25
Kuat Leleh Tul. Longitudinal, $f_y$		Input	MPa	420
Kuat Leleh Tul. Transversal, $f_y$		Input	MPa	280
$\beta_1$	Tabel 22.2.2.4.3	$0.65 \leq 0.85 - 0.05 * (f_c' - 28) / 7 \leq 0.85$		0.8500
Panjang Kolom, $c_1$		Input (Sisi tegak lurus lebar balok)	mm	300

Lebar Kolom, $c_2$		Input (Sisi yang ditempel balok/sejajar lebar balok)	mm	300
$L_n$		$L - c_1$	mm	2800
$\Lambda$		Asumsi tidak menggunakan beton ringan		1
Gaya Dalam				
$M_{u,tumpuan} (-)$		Input	kN-m	-14.7955
$M_{u,tumpuan} (+)$		Input	kN-m	7.3977
$M_{u,lapangan} (-)$		Input	kN-m	4.0609
$M_{u,lapangan} (+)$		Input	kN-m	5.5698
$P_u$		Input	kN	1.7276
Syarat Gaya dan Geometri				
Syarat Gaya Aksial	Tidak dipersyaratkan. Baca R18.6.1 dan 18.6.4.7	$P_u \leq 0.1 A_g f_c'$ ?		OK
Syarat Tinggi Efektif	18.6.2.1	$L_n \geq 4d$ ?		OK
Syarat Lebar 1	18.6.2.1	$b \geq \min(0.3h, 250 \text{ mm})$ ?		OK
Syarat Lebar 2	18.6.2.1	$b \leq c_2 + 2 * \min(c_2, 0.75 c_1)$ ?		OK
Penulangan Lentur				
Tumpuan Negatif				
Jumlah Tulangan Negatif Tumpuan, $n$		Input		4
$d_b$			mm	13
Jarak Bersih Antar Tulangan		$(b - 2 c_c - 2 d_s - n * d_b) / (n - 1)$	mm	32.667
Cek Jarak Bersih	25.2.1	Jarak Bersih $\geq d_b$ dan 25 mm?		IYA
Jumlah Lapis				1
As Pasang		$n * \pi/4 * d_b^2$	mm <sup>2</sup>	530.929
As <sub>min,1</sub>	9.6.1.2	$(f_c')^{0.5} / (4 * f_y) * b * d$	mm <sup>2</sup>	218.378
As <sub>min,2</sub>	9.6.1.2	$1.4 / (4 * f_y) * b * d$	mm <sup>2</sup>	244.583
Cek As min		As Pasang $\geq$ As min ?		OK
$\rho$		$As / (b * d)$		0.72%
$\rho_{max,1}$	Tidak ada	$0.75 \rho_b = 0.75 * 0.85 * \beta_1 * f_c' / f_y * (600/(600 + f_y))$		1.90%

$\rho_{max,2}$	18.6.3.1	2,5%		2.50%
Cek As max		$\rho \leq \rho_{max} ?$		OK
a	22.2.2.4.1	$As * fy / (0.85 * fc' * b)$	mm	41.975
$M_n$	22.2.2.4.1	$As * fy * (d - a/2)$	kN-m	60.768
c	22.2.2.4.1	$a / \beta_1$	mm	49.382
$\epsilon_s$	22.2.1.2, 22.2.2.1	$(d - c) / c * 0.003$		0.015
$\phi$	Tabel 21.2.2	$0.65 \leq 0.65 + (\epsilon_s - 0.002) / 0.003 * 0.25 \leq 0.9$		0.900
$\phi M_n$		$\phi * M_n$	kN-m	54.691
$M_{u,tumpuan} (-)$			kN-m	14.796
Cek Kapasitas		$\phi M_n > M_u ?$		OK
As Perlu		$M_u / [fy * (d - a/2)]$	mm <sup>2</sup>	129.269

#### Tumpuan Positif

n		Input		2
$d_b$			mm	13
Jarak Bersih Antar Tulangan		$(b - 2 c_c - 2 d_s - n * d_b) / (n - 1)$	mm	124.000
Cek Jarak Bersih	25.2.1	Jarak Bersih $\geq d_b$ dan 25 mm?		IYA
Jumlah Lapis				1
As Pasang		$n * \pi/4 * d_b^2$	mm <sup>2</sup>	265.465
$As_{min,1}$	9.6.1.2	$(f_c')^{0.5} / (4 * f_y) * b * d$	mm <sup>2</sup>	218.378
$As_{min,2}$	9.6.1.2	$1.4 / (4 * f_y) * b * d$	mm <sup>2</sup>	244.583
$As_{min,4}$	18.6.3.2	0.5 * As Tumpuan Negatif	mm <sup>2</sup>	265.465
Cek As min		As Pasang $\geq As_{min}$ ?		OK
$\rho$		$As / (b * d)$		0.36%
$\rho_{max,1}$		$0.75 \rho_b = 0.75 * 0.85 * \beta_1 * f_c' / f_y * (600/(600 + f_y))$		1.90%
$\rho_{max,2}$	18.6.3.1	2,5%		2.50%
Cek As max		$\rho \leq \rho_{max} ?$		OK
a	22.2.2.4.1	$As * fy / (0.85 * fc' * b)$	mm	20.987
$M_n$	22.2.2.4.1	$As * fy * (d - a/2)$	kN-m	31.554
c	22.2.2.4.1	$a / \beta_1$	mm	24.691
$\epsilon_s$	22.2.1.2, 22.2.2.1	$(d - c) / c * 0.003$		0.033

$\phi$	Tabel 21.2.2	$0.65 \leq 0.65 + (\epsilon_s - 0.002) / 0.003 * 0.25 \leq 0.9$		0.900
$\phi M_n$		$\phi * M_n$	kN-m	28.398
$M_u$			kN-m	7.398
Cek $\phi M_n > M_u$		$\phi M_n > M_u ?$		OK
As Perlu		$M_u / [f_y * (d - a/2)]$	mm <sup>2</sup>	62.237

#### Lapangan Negatif

n		Input		2
$d_b$			mm	13
Jarak Bersih Antar Tulangan		$(b - 2 c_c - 2 d_s - n * d_b) / (n - 1)$	mm	124.000
Cek Jarak Bersih	25.2.1	Jarak Bersih $\geq d_b$ dan 25 mm?		IYA
Jumlah Lapis				1
As Pasang		$n * \pi / 4 * d_b^2$	mm <sup>2</sup>	265.465
As <sub>min,1</sub>	9.6.1.2	$(f_c')^{0.5} / (4 * f_y) * b * d$	mm <sup>2</sup>	218.378
As <sub>min,2</sub>	9.6.1.2	$1.4 / (4 * f_y) * b * d$	mm <sup>2</sup>	244.583
As <sub>min,4</sub>	18.6.3.2	0.25 * As Tumpuan Negatif	mm <sup>2</sup>	132.732
Cek As min		As Pasang $\geq$ As min ?		OK
$\rho$		$As / (b * d)$		0.36%
$\rho_{max,1}$		$0.75 \rho_b = 0.75 * 0.85 * \beta_1 * f_c' / f_y * (600 / (600 + f_y))$		1.90%
$\rho_{max,2}$	18.6.3.1	2,5%		2.50%
Cek As max		$\rho \leq \rho_{max}$ ?		OK
a	22.2.2.4.1	$As * f_y / (0.85 * f_c' * b)$	mm	20.987
$M_n$	22.2.2.4.1	$As * f_y * (d - a/2)$	kN-m	31.554
c	22.2.2.4.1	$a / \beta_1$	mm	24.691
$\epsilon_s$	22.2.1.2, 22.2.2.1	$(d - c) / c * 0.003$		0.033
$\phi$	Tabel 21.2.2	$0.65 \leq 0.65 + (\epsilon_s - 0.002) / 0.003 * 0.25 \leq 0.9$		0.900
$\phi M_n$		$\phi * M_n$	kN-m	28.398
$M_u$			kN-m	4.061
Cek $\phi M_n > M_u$		$\phi M_n > M_u ?$		OK
As Perlu		$M_u / [f_y * (d - a/2)]$	mm <sup>2</sup>	34.165
Lapangan Positif				

n		Input		2
d <sub>b</sub>			mm	13
Jarak Bersih Antar Tulangan		(b - 2 c <sub>c</sub> - 2 d <sub>s</sub> - n * d <sub>b</sub> ) / (n - 1)	mm	124.000
Cek Jarak Bersih	25.2.1	Jarak Bersih >= d <sub>b</sub> dan 25 mm?		IYA
Jumlah Lapis				1
As Pasang		n * π/4 * d <sub>b</sub> <sup>2</sup>	mm <sup>2</sup>	265.465
As <sub>min,1</sub>	9.6.1.2	(f <sub>c'</sub> ) <sup>0.5</sup> / (4 * f <sub>y</sub> ) * b * d	mm <sup>2</sup>	218.378
As <sub>min,2</sub>	9.6.1.2	1.4 / (4 * f <sub>y</sub> ) * b * d	mm <sup>2</sup>	244.583
As <sub>min,4</sub>	18.6.3.2	0.25 * As Tumpuan Negatif	mm <sup>2</sup>	132.732
Cek As min		As Pasang >= As min ?		OK
ρ		As / (b * d)		0.36%
ρ <sub>max,1</sub>		0.75 ρ <sub>b</sub> = 0.75 * 0.85 * β <sub>1</sub> * f <sub>c'</sub> / f <sub>y</sub> * (600/(600 + f <sub>y</sub> ))		1.90%
ρ <sub>max,2</sub>	18.6.3.1	2,5%		2.50%
Cek As max		ρ <= ρ max ?		OK
a	22.2.2.4.1	As * f <sub>y</sub> / (0.85 * f <sub>c'</sub> * b)	mm	20.987
M <sub>n</sub>	22.2.2.4.1	As * f <sub>y</sub> * (d - a/2)	kN-m	31.554
c	22.2.2.4.1	a / β <sub>1</sub>	mm	24.691
ε <sub>s</sub>	22.2.1.2, 22.2.2.1	(d - c) / c * 0.003		0.033
ϕ	Tabel 21.2.2	0.65 <= 0.65 + (ε <sub>s</sub> - 0.002) / 0.003 * 0.25 <= 0.9		0.900
ϕM <sub>n</sub>		ϕ * M <sub>n</sub>	kN-m	28.398
M <sub>u</sub>			kN-m	5.570
Cek ϕM <sub>n</sub> > M <sub>u</sub>		ϕM <sub>n</sub> > M <sub>u</sub> ?		OK
As Perlu		M <sub>u</sub> / [f <sub>y</sub> * (d - a/2)]	mm <sup>2</sup>	46.859

### b. Desain Lentur

Parameter	Pasal Referensi	Persamaan	Satuan	Nilai
	SNI 2847:2019			
Properti Material dan Penampang				
Panjang Balok, L		Input	mm	3100

Lebar Balok, b		Input	mm	250
Tinggi Balok, h		Input	mm	350
Panjang Tumpuan	18.6.4.1	$2 * h$	mm	700
Diameter Tulangan Longitudinal, $d_b$		Input	mm	32
Diameter Tulangan Pinggang, $d_{bt}$		Input	mm	10
Diameter Tulangan Sengkang, $d_s$		Input	mm	10
Selimut Bersih, $c_c$		Input	mm	40
Tinggi Efektif Balok, d		$h - c_c - d_s - d_b/2$	mm	293.5
Kuat Tekan Beton, $f_c'$		Input	MPa	25
Kuat Leleh Tul. Longitudinal, $f_y$		Input	MPa	420
Kuat Leleh Tul. Transversal, $f_y$		Input	MPa	280
$\beta_1$	Tabel 22.2.2.4.3	$0.65 \leq 0.85 - 0.05 * (f_c' - 28) / 7 \leq 0.85$		0.8500
Panjang Kolom, $c_1$		Input (Sisi tegak lurus lebar balok)	mm	300
Lebar Kolom, $c_2$		Input (Sisi yang ditempel balok/sejajar lebar balok)	mm	300
$L_n$		$L - c_1$	mm	2800
$\lambda$		Asumsi tidak menggunakan beton ringan		1
<b>Gaya Dalam</b>				
$M_{u,tumpuan} (-)$		Input	kN-m	-14.7955 39
$M_{u,tumpuan} (+)$		Input	kN-m	7.3977
$M_{u,lapangan} (-)$		Input	kN-m	4.0609
$M_{u,lapangan} (+)$		Input	kN-m	5.5698
$P_u$		Input	kN	1.7276
<b>Syarat Gaya dan Geometri</b>				

Syarat Gaya Aksial	Tidak dipersyaratkan. Baca R18.6.1 dan 18.6.4.7	$P_u \leq 0.1 A_g f_c' ?$		OK
Syarat Tinggi Efektif	18.6.2.1	$L_n \geq 4d ?$		OK
Syarat Lebar 1	18.6.2.1	$b \geq \min(0.3h, 250 \text{ mm}) ?$		OK
Syarat Lebar 2	18.6.2.1	$b \leq c_2 + 2 * \min(c_2, 0.75 c_1) ?$		OK
Penulangan Lentur				
Tumpuan Negatif				
Jumlah Tulangan Negatif Tumpuan, n		Input		4
$d_b$			mm	13
Jarak Bersih Antar Tulangan		$(b - 2 c_c - 2 d_s - n * d_b) / (n - 1)$	mm	32.667
Cek Jarak Bersih	25.2.1	Jarak Bersih $\geq d_b$ dan 25 mm?		IYA
Jumlah Lapis				1
As Pasang		$n * \pi / 4 * d_b^2$	$\text{mm}^2$	530.929
As <sub>min,1</sub>	9.6.1.2	$(f_c')^{0.5} / (4 * f_y) * b * d$	$\text{mm}^2$	218.378
As <sub>min,2</sub>	9.6.1.2	$1.4 / (4 * f_y) * b * d$	$\text{mm}^2$	244.583
Cek As min		As Pasang $\geq$ As min ?		OK
$\rho$		$\text{As} / (b * d)$		0.72%
$\rho_{max,1}$	Tidak ada	$0.75 \rho_b = 0.75 * 0.85 * \beta_1 * f_c' / f_y * (600 / (600 + f_y))$		1.90%
$\rho_{max,2}$	18.6.3.1	2,5%		2.50%
Cek As max		$\rho \leq \rho_{max}$ ?		OK
a	22.2.2.4.1	$\text{As} * f_y / (0.85 * f_c' * b)$	mm	41.975
$M_n$	22.2.2.4.1	$\text{As} * f_y * (d - a/2)$	kN-m	60.768
c	22.2.2.4.1	$a / \beta_1$	mm	49.382
$\epsilon_s$	22.2.1.2, 22.2.2.1	$(d - c) / c * 0.003$		0.015
$\phi$	Tabel 21.2.2	$0.65 \leq 0.65 + (\epsilon_s - 0.002) / 0.003 * 0.25 \leq 0.9$		0.900
$\phi M_n$		$\phi * M_n$	kN-m	54.691
$M_u, \text{tumpuan } (-)$			kN-m	14.796
Cek Kapasitas		$\phi M_n > M_u ?$		OK

As Perlu		$M_u / [f_y * (d - a/2)]$	$mm^2$	129.269
Tumpuan Positif				
n		Input		2
$d_b$			mm	13
Jarak Bersih Antar Tulangan		$(b - 2 c_c - 2 d_s - n * d_b) / (n - 1)$	mm	124.000
Cek Jarak Bersih	25.2.1	Jarak Bersih $\geq d_b$ dan 25 mm?		IYA
Jumlah Lapis				1
As Pasang		$n * \pi/4 * d_b^2$	$mm^2$	265.465
$As_{min,1}$	9.6.1.2	$(f_c')^{0.5} / (4 * f_y) * b * d$	$mm^2$	218.378
$As_{min,2}$	9.6.1.2	$1.4 / (4 * f_y) * b * d$	$mm^2$	244.583
$As_{min,4}$	18.6.3.2	$0.5 * As$ Tumpuan Negatif	$mm^2$	265.465
Cek As min		As Pasang $\geq As$ min ?		OK
$\rho$		$As / (b * d)$		0.36%
$\rho_{max,1}$		$0.75 \rho_b = 0.75 * 0.85 * \beta_1 * f_c' / f_y * (600/(600 + f_y))$		1.90%
$\rho_{max,2}$	18.6.3.1	2,5%		2.50%
Cek As max		$\rho \leq \rho_{max}$ ?		OK
a	22.2.2.4.1	$As * f_y / (0.85 * f_c' * b)$	mm	20.987
$M_n$	22.2.2.4.1	$As * f_y * (d - a/2)$	kN-m	31.554
c	22.2.2.4.1	$a / \beta_1$	mm	24.691
$\epsilon_s$	22.2.1.2, 22.2.2.1	$(d - c) / c * 0.003$		0.033
$\phi$	Tabel 21.2.2	$0.65 \leq 0.65 + (\epsilon_s - 0.002) / 0.003 * 0.25 \leq 0.9$		0.900
$\phi M_n$		$\phi * M_n$	kN-m	28.398
$M_u$			kN-m	7.398
Cek $\phi M_n > M_u$		$\phi M_n > M_u$ ?		OK
As Perlu		$M_u / [f_y * (d - a/2)]$	$mm^2$	62.237
Lapangan Negatif				
n		Input		2
$d_b$			mm	13
Jarak Bersih Antar Tulangan		$(b - 2 c_c - 2 d_s - n * d_b) / (n - 1)$	mm	124.000
Cek Jarak Bersih	25.2.1	Jarak Bersih $\geq d_b$ dan 25 mm?		IYA

Jumlah Lapis				1
As Pasang		$n * \pi/4 * d_b^2$	mm <sup>2</sup>	265.465
As <sub>min,1</sub>	9.6.1.2	$(f_c')^{0.5} / (4 * f_y) * b * d$	mm <sup>2</sup>	218.378
As <sub>min,2</sub>	9.6.1.2	$1.4 / (4 * f_y) * b * d$	mm <sup>2</sup>	244.583
As <sub>min,4</sub>	18.6.3.2	0.25 * As Tumpuan Negatif	mm <sup>2</sup>	132.732
Cek As min		As Pasang >= As min ?		OK
$\rho$		As / (b * d)		0.36%
$\rho_{max,1}$		$0.75 \rho_b = 0.75 * 0.85 * \beta_1 * f_c' / f_y * (600/(600 + f_y))$		1.90%
$\rho_{max,2}$	18.6.3.1	2,5%		2.50%
Cek As max		$\rho \leq \rho_{max} ?$		OK
a	22.2.2.4.1	As * f <sub>y</sub> / (0.85 * f <sub>c'</sub> * b)	mm	20.987
M <sub>n</sub>	22.2.2.4.1	As * f <sub>y</sub> * (d - a/2)	kN-m	31.554
c	22.2.2.4.1	a / β <sub>1</sub>	mm	24.691
$\epsilon_s$	22.2.1.2, 22.2.2.1	(d - c) / c * 0.003		0.033
$\phi$	Tabel 21.2.2	$0.65 \leq 0.65 + (\epsilon_s - 0.002) / 0.003 * 0.25 \leq 0.9$		0.900
$\phi M_n$		$\phi * M_n$	kN-m	28.398
M <sub>u</sub>			kN-m	4.061
Cek $\phi M_n > M_u$		$\phi M_n > M_u ?$		OK
As Perlu		$M_u / [f_y * (d - a/2)]$	mm <sup>2</sup>	34.165

### Lapangan Positif

n		Input		2
d <sub>b</sub>			mm	13
Jarak Bersih Antar Tulangan		$(b - 2 c_c - 2 d_s - n * d_b) / (n - 1)$	mm	124.000
Cek Jarak Bersih	25.2.1	Jarak Bersih >= d <sub>b</sub> dan 25 mm?		IYA
Jumlah Lapis				1
As Pasang		$n * \pi/4 * d_b^2$	mm <sup>2</sup>	265.465
As <sub>min,1</sub>	9.6.1.2	$(f_c')^{0.5} / (4 * f_y) * b * d$	mm <sup>2</sup>	218.378
As <sub>min,2</sub>	9.6.1.2	$1.4 / (4 * f_y) * b * d$	mm <sup>2</sup>	244.583
As <sub>min,4</sub>	18.6.3.2	0.25 * As Tumpuan Negatif	mm <sup>2</sup>	132.732
Cek As min		As Pasang >= As min ?		OK
$\rho$		As / (b * d)		0.36%

$\rho_{\max,1}$		$0.75 \rho_b = 0.75 * 0.85 * \beta_1 * f'_c / f_y * (600/(600 + f_y))$		1.90%
$\rho_{\max,2}$	18.6.3.1	2,5%		2.50%
Cek As max		$\rho \leq \rho_{\max}$ ?		OK
a	22.2.2.4.1	$As * f_y / (0.85 * f'_c * b)$	mm	20.987
M <sub>n</sub>	22.2.2.4.1	$As * f_y * (d - a/2)$	kN-m	31.554
c	22.2.2.4.1	$a / \beta_1$	mm	24.691
$\varepsilon_s$	22.2.1.2, 22.2.2.1	$(d - c) / c * 0.003$		0.033
$\phi$	Tabel 21.2.2	$0.65 \leq 0.65 + (\varepsilon_s - 0.002) / 0.003 * 0.25 \leq 0.9$		0.900
$\phi M_n$		$\phi * M_n$	kN-m	28.398
M <sub>u</sub>			kN-m	5.570
Cek $\phi M_n > M_u$		$\phi M_n > M_u$ ?		OK
As Perlu		$M_u / [f_y * (d - a/2)]$	mm <sup>2</sup>	46.859

### c. Desain Torsi

Parameter	Pasal Referensi	Persamaan	Satuan	Nilai
	SNI 2847:2019			
Properti Material dan Penampang				
Panjang Balok, L		Input	mm	3100
Lebar Balok, b		Input	mm	250
Tinggi Balok, h		Input	mm	350
Panjang Tumpuan	18.6.4.1	$2 * h$	mm	700
Diameter Tulangan Longitudinal, d <sub>b</sub>		Input	mm	13
Diameter Tulangan Pinggang, d <sub>bt</sub>		Input	mm	10
Diameter Tulangan Sengkang, d <sub>s</sub>		Input	mm	10
Selimut Bersih, c <sub>c</sub>		Input	mm	40
Tinggi Efektif Balok, d		$h - c_c - d_s - d_b/2$	mm	293.5
Kuat Tekan Beton, f' <sub>c</sub>		Input	MPa	25

Kuat Leleh Baja Tulangan, $f_y$		Input	MPa	420
Kuat Leleh Tul. Transversal, $f_y$		Input	MPa	280
$\beta_1$	Tabel 22.2.2.4.3	$0.65 \leq 0.85 - 0.05 * (f'_c - 28) / 7 \leq 0.85$		0.8500
Panjang Kolom, $c_1$		Input (Sisi tegak lurus lebar balok)	mm	300
Lebar Kolom, $c_2$		Input (Sisi yang ditempel balok/sejajar lebar balok)	mm	300
$L_n$		$L - c_1$	mm	2800

#### Parameter Geometri Penampang untuk Perhitungan Torsi

$A_{cp}$		$b * h$	$mm^2$	87500
$P_{cp}$		$2 * (b + h)$	mm	1200
$x_o$		$b - 2c_c - d_s$	mm	160
$y_o$		$h - 2c_c - d_s$	mm	260
$A_{oh}$	R22.7.6.1.1	$x_o * y_o$	$mm^2$	41600
$A_o$	22.7.6.1.1	$0.85 A_{oh}$	$mm^2$	35360
$P_h$	22.7.6.1	$2 * (x_o + y_o)$	mm	840

#### Gaya Dalam

$T_u$		Input	kN m	4.4927
-------	--	-------	------	--------

#### Pengecekan Kebutuhan Tulangan Torsi

$T_{cr}$		$0.33 * (f'_c)^{0.5} * A_{cp}^2 / P_{cp}$	N mm	10527344
$\phi$	Tabel 21.2.1			0.75
$\phi T_{cr} / 4$			N mm	1973877
Perlu Tulangan Torsi?	Tabel 22.7.4.1	$T_u > \phi T_{cr} / 4 ?$		Iya

Perhitungan di bawah ini harus diperiksa

#### Pengecekan Kecukupan Dimensi Penampang

Jenis Torsi		Statis Tertentu = Kesetimbangan, Statis Tak Tentu = Kompatibilitas		Kompatibilitas
$T_u$ Pakai	22.7.3.2, 22.7.5	$\phi T_{cr}$ atau $T_u$	N mm	4492700

$V_u$		Dari Sheet Desain Geser	N	53292
$V_c$	22.5.5.1	$0.17 * (f_c')^{0.5} * b * d$	N	62369
Tegangan Utimate Geser+Torsi	22.7.7.1	$\{ [V_u / b * d]^2 + [T_u P_h / (1.7 A_{oh}^2)]^2 \}^{0.5}$	MPa	1.474
Kapasitas Tegangan Beton	22.7.7.1	$\phi * \{ [V_c / (b * d)] + 0.66 * (f_c')^{0.5} \}$	MPa	3.113
Cek Dimensi Penampang	22.7.7.1	Ruas Kiri <= Ruas Kanan ?		OK

Parameter Umum Lainnya				
$f_y / f_{yt}$		Kuat Leleh Baja Tulangan Torsi = Kuat Leleh Baja Tulangan Lentur dan Geser		1
$\theta$	22.7.6.1.2	$\theta$ diambil untuk balok komponen struktur non prategang	°	45
Penulangan Transversal Torsi				
n kaki Tumpuan		Dari Sheet Desain Geser		2
n kaki Lapangan		Dari Sheet Desain Geser		2
s Tumpuan		Dari Sheet Desain Geser	mm	50
s Lapangan		Dari Sheet Desain Geser	mm	100
s max 1	9.7.6.3.3	$P_h / 8$	mm	105
s max 2	9.7.6.3.3	300 mm	mm	300
Cek Spasi Tumpuan		$s$ Tumpuan $\geq s$ max ?		OK
Cek Spasi Lapangan		$s$ Lapangan $\geq s$ max ?		OK
$A_{vt} / s$ Tumpuan Pasang		$n * \pi / 4 * d_s^2 / s$	mm <sup>2</sup> /mm	3.142
$A_{vt} / s$ Tumpuan Pasang		$n * \pi / 4 * d_s^2 / s$	mm <sup>2</sup> /mm	1.571
$A_t / s$	22.7.6.1	$T_u / (2 * \phi * A_o * f_y)$	mm <sup>2</sup> /mm	0.202
$A_v / s$ Tumpuan Perlu		$(V_u \text{ Tumpuan} / \phi - V_c) / (f_y * d)$	mm <sup>2</sup> /mm	0.865

$A_v / s$ Lapangan Perlu		$(V_u \text{ Lapangan} / \phi - V_c) / (f_y * d)$	$\text{mm}^2/\text{mm}$	-0.691
$A_{v+t} / s$ Tumpuan Perlu	R9.5.4.3	$2 * A_t / s + A_v / s$		1.268
$A_{v+t} / s$ Lapangan Perlu	R9.5.4.3	$2 * A_t / s + A_v / s$		-0.287
$A_{v+t} / s$ min 1	9.6.4.2	$0.062 * (f_c')^{0.5} * b / f_y$		0.185
$A_{v+t} / s$ min 2	9.6.4.2	$0.35 * b / f_y$		0.208
Cek Geser + Torsi Tumpuan		$A_{v+t} / s$ Pasang $\geq A_{v+t} / s$ Perlu dan min ?		OK
Cek Geser + Torsi Lapangan		$A_{v+t} / s$ Pasang $\geq A_{v+t} / s$ Perlu dan min ?		OK
Penulangan Longitudinal Torsi				
$d_b$ atau $d_{bt}$			mm	10
$d_b$ , min	9.7.5.2	$0.042 s$	mm	4.2
Cek $d_b$		$d_b \geq d_b$ min ?		OK
As Perlu Tumpuan Atas		Dari Sheet Desain Geser	$\text{mm}^2$	129.269
As Perlu Tumpuan Bawah		Dari Sheet Desain Geser	$\text{mm}^2$	62.237
As Perlu Lapangan Atas		Dari Sheet Desain Geser	$\text{mm}^2$	34.165
As Perlu Lapangan Bawah		Dari Sheet Desain Geser	$\text{mm}^2$	46.859
$A_l$	22.7.6.1	$A_t / s * P_h$	$\text{mm}^2$	169.408
$A_l$ min	9.6.4.3	$0.42 * (f_c')^{0.5} * A_{cp} / f_y - (A_t / s) * P_h$	$\text{mm}^2$	268.092
$A_s + A_l$ Perlu Tumpuan			$\text{mm}^2$	459.598
$A_s + A_l$ Perlu Lapangan			$\text{mm}^2$	349.116
n Tumpuan Atas		Dari Sheet Desain Lentur		4
n Tumpuan Tengah		Input (Disarankan Kelipatan 2)		2
n Tumpuan Bawah		Dari Sheet Desain Lentur		2
n Tumpuan Vertikal		$2 + n$ Tengah / 2		3

n Lapangan Atas		Dari Sheet Desain Lentur		2
n Lapangan Tengah		Input (Disarankan Kelipatan 2)		2
n Lapangan Atas		Dari Sheet Desain Lentur		2
n Tumpuan Vertikal		$2 + n \text{ Tengah} / 2$		3
Spasi Horizontal Tumpuan		$(b - 2c_c - 2d_s - d_b) / [\min(n \text{ atas}, n \text{ bawah}) - 1]$	mm	137
Spasi Vertikal Tumpuan		$(h - 2c_c - 2d_s - d_b) / (n \text{ Vertikal} - 1)$	mm	119
Spasi Horizontal Lapangan		$(b - 2c_c - 2d_s - d_b) / [\min(n \text{ atas}, n \text{ bawah}) - 1]$	mm	137
Spasi Vertikal Lapangan		$(h - 2c_c - 2d_s - d_b) / (n \text{ Vertikal} - 1)$	mm	119
Cek Spasi Tulangan Longitudinal Tumpuan		Spasi $\geq 300 \text{ mm}$ ?		OK
Cek Spasi Tulangan Longitudinal Lapangan		Spasi $\geq 300 \text{ mm}$ ?		OK
$A_s + A_l$ Pasang Tumpuan			mm <sup>2</sup>	953.473
$A_s + A_l$ Pasang Lapangan			mm <sup>2</sup>	688.009
Cek Lentur + Torsi Tumpuan		$A_s + A_l$ Pasang $\geq A_s + A_l$ Perlu ?		OK
Cek Lentur + Torsi Lapangan		$A_s + A_l$ Pasang $\geq A_s + A_l$ Perlu ?		OK

#### d. Kesimpulan

Kesimpulan	
Syarat Gaya dan Geometri	OK
Kapasitas Lentur	OK
Kapasitas Geser	OK
Kapasitas Torsi	OK

Tulangan Longitudinal	
Longitudinal Tumpuan Atas	4 D13
Longitudinal Tumpuan Tengah	2D10
Longitudinal Tumpuan Bawah	2 D13
Longitudinal Lapangan Atas	2 D13
Longitudinal Lapangan Tengah	2D10
Longitudinal Lapangan Bawah	2 D13
Tulangan Transversal/Sengkang	
Sengkang Tumpuan	2D10-50
Sengkang Lapangan	2D10-100

### 2.8.7. Desain Kolom

#### 2.8.7.1 Kolom ( 30 x 30)

Pada perhitungan Kolom dipakai SNI 2847 : 2019 tentang persyaratan beton structural untuk bangunan Gedung, pada perhitungan desain kolom dibagi 2 desain yaitu transversal dan longitudinal.

Parameter yang dipakai pada perancangan kolom 30 x 30 pada Panti Rehabilitasi adalah sebagai berikut:

Panjang kolom	(L)	= 3500 mm
Sisi Pendek Kolom	(b)	= 300 mm
Sisi Panjang kolom	(h)	= 13 mm
Diameter Tulangan Longitudinal	(d <sub>b</sub> )	= 10 mm
Diameter Tulangan Sengkang	(d <sub>s</sub> )	= 40 mm
Selimut Bersih	(cc)	= 40 mm
Kuat Tekan Beton	(f <sub>c'</sub> )	= 25 MPa
Kuat Leleh Baja Tulangan	(f <sub>y</sub> )	= 420 Mpa
Tinggi Balok	(hb)	= 350 mm
L <sub>n</sub>	(L - hb)	= 3125 mm

Kemudian setelah menentukan parameter perancangan kolom, selanjutnya menentukan syarat gaya dan geometri geometri.

Syarat Sisi Terpendek ( b >= 300 mm) = OK

Syarat Rasio Dimensi Penampang (b/h >= 0.40) = OK

Kemudian adalah Pengecekan Terhadap Gaya Dalam Aksial-Lentur (Menggunakan PCA Column, atau SP Column, atau CSI Column, dll.)

$$\text{Jumlah Tulangan} = 12$$

Luas Tulangan Longitudinal (As)

$$- n * \frac{\pi}{4} * db^2$$

$$12 * \frac{3,14}{4} * 13^2 = 1592,8 \text{ mm}^2$$

Rasio Tulangan ( $\rho$ )

$$- As / (b * h)$$

$$- \frac{1592,8}{300 * 300} = 1.77 \%$$

Cek  $\rho_{\min}$  dan  $\rho_{\max}$

$$- 1\% \leq \rho \leq 6\%$$

Setelah pengecekan terhadap gaya dalam aksial dan lentur maka selanjutnya adalah pengecekan SCWB atau Strong Column Weak Beam.

Momen Nominal Kolom, Mnc

$$- \text{Input (nilai terkecil)} = 162.000 \text{ kN m}$$

$Mpr^-$  Tumpuan Balok

$$- \text{Input} = 72,387 \text{ kN m}$$

$Mpr^+$  Tumpuan Balok

$$- \text{Input} = 37.575 \text{ kN m}$$

Cek SCWB

$$- 2 * Mnc \geq 1.2 * (Mpr^- + Mpr^+)$$

$$2 * 162.000 \geq 1.2 * (72,387 + 37.575)$$

$$2 * 162.000 \geq 131.954 = OK$$

Setelah menghitung Desain longitudinal maka selanjutnya adalah menghitung Desain Transversal, pada desain ini yang pertama kami menghitung Panjang Zona Sendi Plastis/Tumpuan.

$$l_{o1} (h) = 300 \text{ mm}$$

$$l_{o2} \left( \frac{Ln}{6} \right)$$

$$- 3125 / 6 = 520,8 \text{ mm}$$

$$l_{o3} \text{ } 450 \text{ mm} = 450 \text{ mm}$$

$$l_o \text{ Nilai terbesar dari } l_{o1} - l_{o3} = 520,8 \text{ mm}$$

Setelah kami menghitung Panjang Zona Sendi Plastis/Tumpuan, selanjutnya adalah menghitung Tulangan Transversal Zona Sendi Plastis/Tumpuan.

Jumlah Kaki Sisi Pendek (n1)

$$\text{- Input} = 4 \text{ mm}$$

Jumlah Kaki Sisi Panjang (n2)

$$\text{- Input} = 4 \text{ mm}$$

Spasi (s)

$$\text{- Input} = 100 \text{ mm}$$

Spasi Kaki Terbesar, xi max

$$\text{- Input} = 300 \text{ mm}$$

Ash 1

$$\text{- } n * \pi / 4 * ds^2$$

$$4 * 3,14 / 4 * 10^2$$

Ash 2

$$\text{- } n * \pi / 4 * ds^2$$

$$4 * 3,14 / 4 * 10^2$$

Ash / s, 1

$$\text{- Ash 1 / s}$$

$$314.159 / 50 = 6.283 \text{ mm}^2/\text{mm}$$

Ash / s, 2

$$\text{- Ash 1 / s}$$

$$314.159 / 50 = 6.283 \text{ mm}^2/\text{mm}$$

Setelah menghitung tulangan transversal zona sendi plastis maka selanjutnya adalah dengan menghitung Confinement/ kekekangan Zona sendi plastis.

Lebar Penampang Inti Beton (bc)

$$\text{- } b - 2Cc$$

$$300 - 2 * 40 = 220 \text{ mm}$$

Panjang Penampang Inti Beton (c)

$$- b - 2C_c$$

$$300 - 2 * 40 = 220 \text{ mm}$$

Luas Penampang Kolom (A\_g)

$$- b * h$$

$$300 * 300 = 90000 \text{ mm}^2$$

Luas Penampang Inti Beton (A\_ch)

$$- b_c * h_c$$

$$220 * 220 = 48400 \text{ mm}^2$$

Pada sisi pendek/ Sumbu Lemah :

A\_sh/s min, 1

$$- 0.3 (bc * fc' / fy) * (A_g / A_{ch} - 1)$$

$$0.3 (220 * 25 / 420) \frac{90000}{48400} - 1$$

$$= 3.377 \text{ mm}^2$$

A\_sh/s min, 2

$$- 0.09 * hc * fc' / fy$$

$$0.09 * 220 * 25 / 420$$

$$= 1.179 \text{ mm}^2$$

Cek A\_sh/s 1

$$- A_{sh/s} 2 \geq A_{sh/s} \text{ min}$$

$$= OK$$

Pada sisi pendek/ Sumbu Kuat :

A\_sh/s min, 1

$$- 0.3 (bc * fc' / fy) * (A_g / A_{ch} - 1)$$

$$0.3 (220 * 25 / 420) \frac{90000}{48400} - 1$$

$$= 3.377 \text{ mm}^2$$

A\_sh/s min, 2

$$- 0.09 * hc * fc' / fy$$

$$0.09 * 220 * 25 / 420$$

$$= 1.179 \text{ mm}^2$$

Cek A\_sh/s 1

$$- A_{sh/s} 2 \geq A_{sh/s} \text{ min}$$

$$= OK$$

Perhitungan Cek Spasi :

S<sub>max,1</sub>

$$- b / 4$$

$$300 / 4 = 75 \text{ mm}$$

$S_{max,2}$

$$\begin{aligned} - & 6 * db \\ & 6 * 13 = 78 \text{ mm} \end{aligned}$$

$h_x$

$$- X_{i \text{ max}} = 300 \text{ mm}$$

$S_{max,3} = S_o$

$$- 100 \leq 100 + (350 - h_x) / 3 \leq 150 = 116.667 \text{ mm}$$

$S_{max}$

$$- \text{Nilai terkecil dari } S_{max,1} - S_{max,3} = 75 \text{ mm}$$

Cek Spasi

$$- \text{Apabila } s \leq S_{max} = OK$$

Setelah melakukan perhitungan kekekangazona sendi plastis, selanjutnya adalah menghitung kuat geser zona sendi plastis.

Mpr Kolom

$$- \text{Input dari desain} = 131.954 \text{ Kn M}$$

Vu 1

$$\begin{aligned} - & 2 * Mpr \text{ Kolom} / L_n \\ & 2 * 131.954 * 10^6 / 3125 = 84451 \text{ N} \end{aligned}$$

Vu 2 (Sumbu Lemah)

$$- \text{Input gaya dalam etabs} * 10^3 = 9092 \text{ N}$$

Vu 2 (Sumbu Kuat)

$$- \text{Input gaya dalam etabs} * 10^3 = 1311 \text{ N}$$

Perhitungan Geser Beton sumbu lemah lemah :

Vu

$$- \text{Nilai terbesar Vu} = 84451 \text{ N}$$

$\phi$

$$= 0.75$$

Vc

$$\begin{aligned} - & 0.17 \left( 1 + \frac{Nu}{(14 A_g)} \right) (f c')^{0.5} b d; d = h - c_c - ds - \frac{db}{2} \\ & 0.17 \left( 1 + \frac{Nu}{(14 90000)} \right) (25)^{0.5} b d; d = 300 - 40 - 10 - \frac{13}{2} \\ & = 62161 \text{ N} \end{aligned}$$

V<sub>s</sub> Perlu

- $V_u / \varphi - V_c$
- $\frac{V_u}{0.75} - 62161 = 50440 \text{ N}$

A<sub>s</sub>/s Perlu

- $\frac{V_s}{(f_y * d)}; d = h - c_c - ds - \frac{db}{2}$
- $\frac{50440}{(420 * d)}; d = 300 - 40 - 10 - \frac{13}{2} = 0.4932 \text{ mm}^2/\text{mm}$

A<sub>s</sub>/s Min 1

- $0.062 (f'_c)^{0.5} b / f_y$
- $0.062 (25)^{0.5} * 300 / 420 = 0.2214 \text{ mm}^2/\text{mm}$

A<sub>s</sub>/s Min 2

- $0.35 h / f_y$
- $0.35 * 300 / 420 = 0.2500 \text{ mm}^2/\text{mm}$

Cek A<sub>s</sub>/s

- $A_{sh}/s \geq \max(A_{s/s} \text{ Perlu}, A_{s/s} \text{ Min}) = OK$

Perhitungan Geser Beton sumbu lemah Kuat :

V<sub>u</sub>

- Nilai terbesar V<sub>u</sub> = 84451 N

φ

$$= 0.75$$

V<sub>c</sub>

- $0.17 \left(1 + \frac{N_u}{(14 A_g)}\right) (f'_c)^{0.5} b d; d = h - c_c - ds - \frac{db}{2}$
- $0.17 \left(1 + \frac{N_u}{(14 90000)}\right) (25)^{0.5} b d; d = 300 - 40 - 10 - \frac{13}{2} = 62161 \text{ N}$

V<sub>s</sub> Perlu

- $V_u / \varphi - V_c$
- $\frac{V_u}{0.75} - 62161 = 50440 \text{ N}$

A<sub>s</sub>/s Perlu

- $\frac{V_s}{(f_y * d)}; d = h - c_c - ds - \frac{db}{2}$
- $\frac{50440}{(420 * d)}; d = 300 - 40 - 10 - \frac{13}{2} = 0.4932 \text{ mm}^2/\text{mm}$

A<sub>s</sub>/s Min 1

$$\begin{aligned} - & 0.062 (f_{c'})^{0.5} b / f_y \\ & 0.062 (25)^{0.5} * 300 / 420 = 0.2214 \text{ mm}^2/\text{mm} \end{aligned}$$

A<sub>s</sub>/s Min 2

$$\begin{aligned} - & 0.35 h / f_y \\ & 0.35 * 300 / 420 = 0.2500 \text{ mm}^2/\text{mm} \end{aligned}$$

Cek A<sub>s</sub>/s

$$- A_{sh} / s \geq \text{Max}(A_s/s \text{ Perlu}, A_s/s \text{ Min}) = OK$$

Setelah melakukan perhitungan kuat geser sendi plastis selanjutnya adalah melakukan perhitungan tulangan transversal luar zona sendi plastis/ Tumpuan.

Jumlah Kaki Sisi Pendek, n1

$$- \text{Input}$$

Jumlah Kaki Sisi Panjang, n2

$$- \text{Input}$$

Spasi (s)

$$- \text{Input}$$

A<sub>v</sub> Sumbu Lemah

$$- n * \pi / 4 * d_s^2$$

$$2 * 3,14 / 4 * 10^2$$

$$= 157.080 \text{ mm}^2$$

A<sub>v</sub> Sumbu Kuat

$$- n * \pi / 4 * d_s^2$$

$$2 * 3,14 / 4 * 10^2$$

$$= 157.080 \text{ mm}^2$$

Setelah menghitung tulangan transversal luar zona sendi plastis maka selanjutnya adalah dengan menghitung Confinement/ kekekangan Luar Zona sendi plastis.

Spasi max 1

$$\begin{aligned} - & 6 * db \\ & 6 * 13 = 78 \text{ mm} \end{aligned}$$

Spasi max 2

$$- 150 \text{ mm} = 150 \text{ mm}$$

Cek spasi

$$- Spasi \leq Spasi \text{ Max} = OK$$

Perhitungan Geser Beton sumbu lemah lemah :

V<sub>u</sub>

- Nilai terbesar V<sub>u</sub> = 9092 N

- $\varphi$  = 0.75

V<sub>c</sub>

- $0.17 \left(1 + \frac{Nu}{(14 Ag)}\right) (fc')^{0.5} b d; d = h - c_c - ds - \frac{db}{2}$
- $0.17 \left(1 + \frac{Nu}{(14 * 90000)}\right) (25)^{0.5} b d; d = 300 - 40 - 10 - \frac{13}{2}$
- = 62161 N

V<sub>s</sub> Perlu

- $\text{Max}(V_u / \varphi - V_c; 0)$
- $\text{Max}(\frac{9092}{0.75} - 62161; 0)$  = 0.000 N

A<sub>s/s</sub> Perlu

- $\frac{V_s}{(fy * d)}; d = h - c_c - ds - \frac{db}{2}$
- $\frac{0}{(420 * d)}; d = 300 - 40 - 10 - \frac{13}{2}$  = 0.000 mm<sup>2</sup>/ mm

A<sub>s/s</sub> Min 1

- apabila  $0 > 0, 0.062 (fc')^{0.5} b / fy$
- $0.062 (25)^{0.5} * 300 / 420, 0$  = 0.000 mm<sup>2</sup>/ mm

A<sub>s/s</sub> Min 2

- apabila  $0 > 0, 0.35 h / fy$
- $0.35 * 300 / 420, 0$  = 0.000 mm<sup>2</sup>/ mm

Cek A<sub>s/s</sub>

- $Av/s \geq Av/s \text{ Perlu} = OK$

Perhitungan Geser Beton sumbu lemah Kuat :

V<sub>u</sub>

- Nilai terbesar V<sub>u</sub> = 1311 N

- $\varphi$  = 0.75

V<sub>c</sub>

- $0.17 \left(1 + \frac{Nu}{(14 Ag)}\right) (fc')^{0.5} b d; d = h - c_c - ds - \frac{db}{2}$
- $0.17 \left(1 + \frac{Nu}{(14 * 90000)}\right) (25)^{0.5} b d; d = 300 - 40 - 10 - \frac{13}{2}$

$$= 62161 \text{ N}$$

V<sub>s</sub> Perlu

- $\text{Max} (V_u / \varphi - V_c; 0)$

$$\text{Max} \left( \frac{1311}{0.75} - 62161; 0 \right) = 0.000 \text{ N}$$

A<sub>s</sub>/s Perlu

- $\frac{V_s}{(f_y * d)}; d = h - c_c - d_s - \frac{d_b}{2}$

$$\frac{0}{(420 * d)}; d = 300 - 40 - 10 - \frac{13}{2} = 0.000 \text{ mm}^2/\text{mm}$$

A<sub>s</sub>/s Min 1

- apabila  $0 > 0,062 (f'_c)^{0.5} b / f_y$

$$0.062 (25)^{0.5} * 300 / 420,0 = 0.000 \text{ mm}^2/\text{mm}$$

A<sub>s</sub>/s Min 2

- apabila  $0 > 0,35 h / f_y$

$$0.35 * 300 / 420,0 = 0.000 \text{ mm}^2/\text{mm}$$

Cek A<sub>s</sub>/s

- $A_v/s \geq A_{v/s} \text{ Perlu} = OK$

Berikut ini merupakan tabel rekapitulasi perhitungan kolom dimensi 300 x 300 mm yaitu desain longitudinal dan transversal menggunakan SNI 2847:2019, pada tabel kesimpulan terdapat rekapitulasi penggunaan tulangan.

### a. Desain Longitudinal

Parameter	Pasal Referensi	Persamaan	Satuan	Nilai
	SNI 2847:2019			
Properti Material dan Penampang				
Panjang/Tinggi Kolom, L		Input	mm	3500
Sisi Pendek Kolom, b		Input	mm	300
Sisi Panjang Kolom, h		Input	mm	300
Diameter Tulangan Longitudinal, d <sub>b</sub>		Input	mm	13
Diameter Tulangan Sengkang, d <sub>s</sub>		Input	mm	10

Selimut Bersih, $c_c$		Input	mm	40
Kuat Tekan Beton, $f_c'$		Input	MPa	25
Kuat Leleh Baja Tulangan, $f_y$		Input	MPa	420
Tinggi Balok, $h_b$		Input	mm	350
$L_n$		$L - h_b$	mm	3125

Syarat Gaya dan Geometri				
Syarat Gaya Aksial	Tidak dipersyaratkan. Baca R18.7.1	$P_u > 0.1 A_g f_c' ?$		OK
Syarat Sisi Terpendek	18.7.2.1	$b \geq 300 \text{ mm} ?$		OK
Syarat Rasio Dimensi Penampang	18.7.2.1	$b/h \geq 0.4 ?$		OK
Pengecekan Terhadap Gaya Dalam Aksial-Lentur (Menggunakan PCA Column, atau SP Column, atau CSI Column, dll.)				
Jumlah Tulangan, $n$		Input		12
Luas Tulangan Longitudinal, $A_s$		$n * \pi/4 * d_b^2$	mm <sup>2</sup>	1592.8
Rasio Tulangan, $\rho$		$A_s / (b * h)$		1.77%
Cek $\rho_{\min}$ dan $\rho_{\max}$	18.7.4.1	$1\% \leq \rho \leq 6\%$		OK
Pengecekan Strong Column - Weak Beam (SCWB)				
Momen Nominal Kolom, $M_{nc}$		Input (nilai terkecil)	kN m	162.000
Mpr <sup>-</sup> Tumpuan Balok		Input	kN m	72.387
Mpr <sup>+</sup> Tumpuan Balok		Input	kN m	37.575
Cek SCWB	18.7.3.2	$2 * M_{nc} \geq 1.2 * (M_{pr^-} + M_{pr^+})$		OK

## b. Desain Transversal

Parameter	Pasal Referensi	Persamaan	Satuan	Nilai
	SNI 2847:2019			
Properti Material dan Penampang				
Panjang/Tinggi Kolom, L		Input	mm	3500
Sisi Pendek Kolom, b		Input	mm	300
Sisi Panjang Kolom, h		Input	mm	300

Diameter Tulangan Longitudinal, $d_b$		Input	mm	13
Diameter Tulangan Sengkang, $d_s$		Input	mm	10
Selimut Bersih, $c_c$		Input	mm	40
Kuat Tekan Beton, $f_c'$		Input	MPa	25
Kuat Leleh Baja Tulangan, $f_y$		Input	MPa	420
Tinggi Balok, $h_b$		Input	mm	375
$L_n$		$L - h_b$	mm	3125
Panjang Zona Sendi Plastis				
$l_{o1}$	18.7.5.1	$h$	mm	300.0
$l_{o2}$	18.7.5.1	$L_n / 6$	mm	520.8
$l_{o3}$	18.7.5.1	450 mm	mm	450
$l_o$	18.7.5.1	Max ( $l_{o1}; l_{o2}; l_{o3}$ )	mm	520.8

Tulangan Transversal Zona Sendi Plastis/Tumpuan				
Jumlah Kaki Sisi Pendek, $n_1$		Input		4
Jumlah Kaki Sisi Panjang, $n_2$		Input		4
Spasi, $s$		Input	m m	50
Spasi Kaki Terbesar, $x_{i \max}$	R18.7.5.2	Input	m m	300
$A_{sh} 1$		$n * \pi / 4 * d_s^2$	m $m^2$	314.159
$A_{sh} 2$		$n * \pi / 4 * d_s^2$	m $m^2$	314.159
$A_{sh} / s, 1$			mm <sup>2</sup> / mm	6.283
$A_{sh} / s, 2$			mm <sup>2</sup> / mm	6.283
Confinement/Kekangan Zona Sendi Plastis				
Lebar Penampang Inti Beton, $b_c$	R18.7.5.2	$b - 2c_c$	mm	220
Panjang Penampang Inti Beton, $h_c$	R18.7.5.2	$h - 2c_c$	mm	220

Luas Penampang Kolom, $A_g$		$b * h$	$\text{mm}^2$	90000
Luas Penampang Inti Beton, $A_{ch}$		$b_c * h_c$	$\text{mm}^2$	48400
Sisi Pendek/Sumbu Lemah				
$A_{sh/s} \text{ min, 1}$	18.7.5.4	$0.3 (b_c * f_c' / f_y) * (A_g / A_{ch} - 1)$	$\text{mm}^2$	3.377
$A_{sh/s} \text{ min, 2}$	18.7.5.4	$0.09 * b_c * f_c' / f_y$	$\text{mm}^2$	1.179
Cek $A_{sh/s} 1$		$A_{sh/s} 1 \geq A_{sh/s} \text{ min ?}$		OK
Sisi Panjang/Sumbu Kuat				
$A_{sh/s} \text{ min, 1}$	18.7.5.4	$0.3 (h_c * f_c' / f_y) * (A_g / A_{ch} - 1)$	$\text{mm}^2$	3.377
$A_{sh/s} \text{ min, 2}$	18.7.5.4	$0.09 * h_c * f_c' / f_y$	$\text{mm}^2$	1.179
Cek $A_{sh/s} 2$		$A_{sh/s} 2 \geq A_{sh/s} \text{ min ?}$		OK
Cek Spasi				
$s_{max,1}$	18.7.5.3	$b / 4$	mm	75
$s_{max,2}$	18.7.5.3	$6 * d_b$	mm	78
$h_x$	18.7.5.3	$x_i \text{ max}$	mm	300
$s_{max,3} = s_o$	18.7.5.3	$100 \leq 100 + (350 - h_x) / 3 \leq 150$	mm	116.667
$s_{max}$	18.7.5.3	Min ( $s_{max1}, s_{max2}, s_{max3}$ )	mm	75.000
Cek Spasi				OK
Kuat Geser Zona Sendi Plastis				

Gaya Geser Desain (Perlu input dari PCA Column, atau SP Column, atau CSI Column, dll. dengan $f_{pr} = 1.25 f_y$ )				
M <sub>pr</sub> Kolom		Input, (nilai terbesar)	kN m	131.95 4
V <sub>u1</sub>	18.7.6.1	2 * M <sub>pr</sub> Kolom / Ln	N	84451
Gaya Geser Hasil Analisis Struktur				
V <sub>u2</sub> , Sumbu Lemah		Dari Sheet Gaya Dalam	N	9092
V <sub>u2</sub> , Sumbu Kuat		Dari Sheet Gaya Dalam	N	1311
Tahanan Geser Beton Sumbu Lemah				
V <sub>u</sub>		Max (V <sub>u1</sub> , V <sub>u2</sub> )	N	84451
φ	Tabel 21.2.1			0.75
V <sub>c</sub>	22.5.6.1	0.17 (1 + N <sub>u</sub> /(14 A <sub>g</sub> ]) (f' <sub>c</sub> ) <sup>0.5</sup> h d; d = b - c <sub>c</sub> - d <sub>s</sub> - d <sub>b</sub> / 2	N	62161
V <sub>s</sub> Perlu	22.5.10.1	V <sub>u</sub> / φ - V <sub>c</sub>	N	50440
A <sub>s/s</sub> Perlu	22.5.10.5.3	V <sub>s</sub> / (f <sub>y</sub> * d); d = b - c <sub>c</sub> - d <sub>s</sub> - d <sub>b</sub> / 2	mm <sup>2</sup> / mm	0.4932
A <sub>s/s</sub> Min 1	10.6.2.2	0.062 (f' <sub>c</sub> ) <sup>0.5</sup> h / f <sub>y</sub>	mm <sup>2</sup> / mm	0.2214
A <sub>s/s</sub> Min 2	10.6.2.2	0.35 h / f <sub>y</sub>	mm <sup>2</sup> / mm	0.2500
Cek A <sub>s/s</sub>		A <sub>sh</sub> / s 1 >= Max (A <sub>s/s</sub> Perlu, A <sub>s/s</sub> Min) ?		OK
Tahanan Geser Beton Sumbu Kuat				
V <sub>u</sub>		Max (V <sub>u1</sub> , V <sub>u2</sub> )	N	84451
φ	Tabel 21.2.1			0.75
V <sub>c</sub>	22.5.6.1	0.17 (1 + N <sub>u</sub> /(14 A <sub>g</sub> ]) (f' <sub>c</sub> ) <sup>0.5</sup> b d; d = h - c <sub>c</sub> - d <sub>s</sub> - d <sub>b</sub> / 2	N	62161
V <sub>s</sub> Perlu	22.5.10.1	V <sub>u</sub> / φ - V <sub>c</sub>	N	50440
A <sub>s/s</sub> Perlu	22.5.10.5.3	V <sub>s</sub> / (f <sub>y</sub> * d); d = h - c <sub>c</sub> - d <sub>s</sub> - d <sub>b</sub> / 2	mm <sup>2</sup> / mm	0.4932

A <sub>s</sub> /s Min 1	10.6.2.2	0.062 (f <sub>c</sub> ) <sup>0.5</sup> b / f <sub>y</sub>	mm <sup>2</sup> / mm	0.2214
A <sub>s</sub> /s Min 2	10.6.2.2	0.35 b / f <sub>y</sub>	mm <sup>2</sup> / mm	0.2500
Cek A <sub>s</sub> /s		A <sub>sh</sub> / s 2 >= Max (A <sub>s</sub> /s Perlu, A <sub>s</sub> /s Min) ?		OK

Tulangan Transversal Luar Zona Sendi Plastis/Tumpuan				
Jumlah Kaki Sisi Pendek, n1		Input		2
Jumlah Kaki Sisi Panjang, n2		Input		2
Spasi, s		Input	mm	50
A <sub>v</sub> Sumbu Lemah		n *π/4 *d <sub>s</sub> <sup>2</sup>	mm <sup>2</sup>	157.080
A <sub>v</sub> Sumbu Kuat		n *π/4 *d <sub>s</sub> <sup>2</sup>	mm <sup>2</sup>	157.080
Confinement/Kekangan Luar Zona Sendi Plastis				
Spasi max 1	18.7.5.5	6 d <sub>b</sub>	mm	78.0
Spasi max 2	18.7.5.5	150 mm	mm	150.0
Cek Spasi		Spasi <= Spasi Max ?		OK
Kuat Geser Luar Zona Sendi Plastis				
Tahanan Geser Beton Sumbu Lemah				
V <sub>u</sub>		Dari Sheet Gaya Dalam	N	9092
φ	Tabel 21.2.1			0.75
V <sub>c</sub>	22.5.6.1	0.17 (1 + N <sub>u</sub> /(14 A <sub>g</sub> )) (f <sub>c</sub> ) <sup>0.5</sup> h d; d = b - c <sub>c</sub> - d <sub>s</sub> - d <sub>b</sub> / 2	N	62161
V <sub>s</sub> Perlu	22.5.10.1	Max (V <sub>u</sub> /φ - V <sub>c</sub> ; 0)		0
A <sub>v</sub> /s Perlu	22.5.10.5.3	V <sub>s</sub> / (f <sub>y</sub> * d); d = b - c <sub>c</sub> - d <sub>s</sub> - d <sub>b</sub> / 2		0.0000
A <sub>s</sub> /s Min 1	10.6.2.2	0.062 (f <sub>c</sub> ) <sup>0.5</sup> b / f <sub>y</sub>	mm <sup>2</sup> / mm	0.0000

$A_s/s$ Min 2	10.6.2.2	$0.35 b / f_y$	$mm^2 / mm$	0.0000
Cek $A_s/s$		$A_v/s \geq A_v/s$ Perlu ?		OK
Tahanan Geser Beton Sumbu Kuat				
$V_u$		Dari Sheet Gaya Dalam	N	1311
$\varphi$	Tabel 21.2.1			0.75
$V_c$	22.5.6.1	$0.17 (1 + N_u/(14 A_g)] (f'_c)^{0.5} b d; d = h - c_c - d_s - d_b / 2$	N	62161
$V_s$ Perlu	22.5.10.1	$\text{Max}(V_u/\varphi - V_c; 0)$		0
$A_v/s$ Perlu	22.5.10.5.3	$V_s / (f_y * d); d = h - c_c - d_s - d_b / 2$		0.0000
$A_s/s$ Min 1	10.6.2.2	$0.062 (f'_c)^{0.5} b / f_y$	$mm^2 / mm$	0.0000
$A_s/s$ Min 2	10.6.2.2	$0.35 b / f_y$	$mm^2 / mm$	0.0000
Cek $A_s/s$		$A_v/s \geq A_v/s$ Perlu ?		OK

c. Kesimpulan

Kesimpulan	
Syarat Gaya dan Geometri	OK
Kapasitas Lentur	OK
Kapasitas Geser	OK
Tulangan Longitudinal	
Longitudinal	12 D13
Tulangan Transversal/Sengkang Tumpuan	
Sumbu Lemah	4D10-50
Sumbu Kuat	4D10-50
Tulangan Transversal/Sengkang Lapangan	
Sumbu Lemah	2D10-50
Sumbu Kuat	2D10-50

